

บทที่ 2

วรรณกรรมที่เกี่ยวข้อง

2.1 การวิเคราะห์ด้วยวิธีแรงสถิตไม่เชิงเส้นหรือการผลักอาคารแบบไม่เชิงเส้น (Nonlinear Static Analysis or Nonlinear Pushover Analysis)

การวิเคราะห์หาค่ากำลังต้านทานแผ่นดินไหวด้วยวิธีแรงสถิตไม่เชิงเส้น (ATC-40, FEMA-440) เป็นที่ใช้อย่างแพร่หลาย เนื่องจากเป็นวิธีการที่ง่ายและมีประสิทธิภาพในการประเมิน ผลตอบสนองของโครงสร้างต่อแรงแผ่นดินไหว วิธีการนี้นิยมเรียกว่าการผลักอาคารแบบไม่เชิงเส้น (Nonlinear Pushover) โดยเป็นการผลักอาคารด้วยแรงกระทำทางด้านข้างอย่างช้าๆ และค่อยๆ เพิ่มแรงกระทำจนกระทั่งโครงสร้างถึงจุดวิบัติ ด้วยสมการการเคลื่อนที่ดังนี้

$$[K]\{\Delta u\} = \{\Delta F\} - [C]\{\Delta \dot{u}\} \quad (2.1)$$

โดยที่ $[K]$ คือ สติฟเนสของโครงสร้าง

$\{\Delta u\}$ คือ เวกเตอร์ของการเพิ่มค่าการเคลื่อนที่ด้านข้าง

$\{\Delta F\}$ คือ เวกเตอร์ของการเพิ่มแรงกระทำทางด้านข้าง

$[C]$ คือ ความหน่วงของโครงสร้าง

$\{\Delta \dot{u}\}$ คือ เวกเตอร์ของการเพิ่มค่าความเร็วในการเคลื่อนที่

สมการการเคลื่อนที่นี้ ไม่มีเทอมของแรงอินเนอร์เซียเนื่องจากแรงกระทำช้ามาก

การผลักอาคารนี้อาจกระทำด้วยการควบคุมแรงกระทำ (Force control) หรือควบคุมการเคลื่อนที่ (Displacement control) อย่างใดอย่างหนึ่ง ในวิธีการแรก โครงสร้างจะถูกผลักให้เคลื่อนที่ไปด้วยการค่อยๆ เพิ่มแรงกระทำด้านข้างที่มีการกระจายรูปแบบหนึ่ง และคำนวณการเคลื่อนที่ซึ่งเพิ่มขึ้นตามมา สำหรับวิธีการหลัง จะต้องกำหนดรูปแบบการโก่งตัวของโครงสร้างเสียก่อน และจะถูกผลักให้เคลื่อนที่ไปตามรูปแบบการโก่งตัวที่กำหนด โดยทั่วไป เนื่องจากรูปแบบการโก่งตัวของโครงสร้างยังไม่ทราบในเบื้องต้น ดังนั้น การใช้วิธีควบคุมแรงกระทำจึงเป็นที่นิยมใช้มากกว่า ลักษณะการกระจายแรงกระทำ แบ่งออกเป็น 2 ประเภท คือ

ก) การกระจายแรงผลักแบบโหมดเดียว (Single-Mode Load Distribution) ประกอบด้วย

- น้ำหนักกระทำแบบจุด (Concentrated Load) เป็นรูปแบบแรงกระทำอย่างง่ายที่สุด โดยมีแรงกระทำแบบจุดเพียงแรงเดียวกระทำบนยอดอาคาร
- น้ำหนักกระจายแบบสม่ำเสมอ (Uniform Load)

แรงกระทำแบบนี้มีสมมุติฐานว่าอัตราเร่งของระบบโครงสร้างมีค่าคงที่ตลอดความสูงของอาคาร โดยมีการกระจายแรงกระทำ ดังนี้

$$\Delta F_i = \frac{\Delta V_b}{N} \quad (2.2)$$

เมื่อ ΔF_i คือ การเพิ่มแรงกระทำสำหรับระดับชั้นที่ i

ΔV_b คือ การเพิ่มแรงเฉือนที่ฐานอาคาร

N คือ จำนวนชั้นอาคารทั้งหมด

- นำหนักกระจายแบบสามเหลี่ยม (Triangular Load)

แรงกระทำแบบนี้มีสมมุติฐานว่าอัตราเร่งของระบบโครงสร้างมีการเพิ่มเป็นเชิงเส้นจากค่าศูนย์ที่ฐานอาคารไปจนถึงค่าสูงสุดที่ยอดอาคาร โดยมีการกระจายแรงกระทำ ดังนี้

$$\Delta F_i = \frac{W_i h_i}{\sum_{i=1}^N W_i h_i} \Delta V_b \quad (2.3)$$

เมื่อ W_i คือ น้ำหนักอาคารสำหรับระดับชั้นที่ i

h_i คือ ความสูงอาคารที่ระดับชั้นที่ i

- นำหนักกระจายตามข้อบังคับการออกแบบ (Code Distribution Load) มีการกระจายแรงกระทำ ดังนี้

$$\Delta F_i = \frac{W_i h_i^k}{\sum_{i=1}^N W_i h_i^k} \Delta V_b \quad (2.4)$$

เมื่อ k คือ สัมประสิทธิ์ที่กำหนดรูปแบบการกระจายแรง และ

$$k = 1.0, \quad T \leq 0.5 \text{ sec}$$

$$k = 2.0, \quad T \geq 2.5 \text{ sec}$$

$$k = 1 + \frac{T - 0.5}{2}, \quad 0.5 < T < 2.5 \text{ sec}$$

- นำหนักกระจายแบบโหมดแรก (First Mode Load)

แรงกระทำแบบนี้มีสมมุติฐานว่าอัตราเร่งของระบบโครงสร้างเป็นสัดส่วนกับรูปแบบการสั่นของโครงสร้างในโหมดแรก โดยมีการกระจายแรงกระทำ ดังนี้

$$\Delta F_i = \frac{W_i \Phi_{i1}}{\sum_{i=1}^N W_i \Phi_{i1}} V_b - F_i^{old} \quad (2.5)$$

เมื่อ Φ_{i1} คือ ค่ารูปแบบการสั่นในโหมดแรกสำหรับระดับชั้นที่ i

F_i^{old} คือ แรงกระทำในระดับชั้นที่ i ของการคำนวณขั้นต่อนก่อน

- นำหนักกระจายแบบโหมดแรกซึ่งปรับแก้ได้ (Adaptive First Mode Load)

วิธีการนี้ พิจารณาว่าเมื่อโครงสร้างถูกแรงกระทำมากขึ้นจะทำให้ค่าสติเฟนลดลงส่งผลให้การโก่งตัวในแต่ละรูปแบบการสั่นเปลี่ยนแปลงไปด้วย ดังนั้นจึงมีการปรับแรงกระทำเพื่อให้สอดคล้องกับรูปร่างการโก่งตัวที่เปลี่ยนไป โดยเฉพาะในโหมดแรก ในขั้นตอนการปรับแรงกระทำ เวกเตอร์ของแรงจะถูกปรับที่ค่าการเลื่อนตัวทุกๆ 0.5% ของความสูงอาคาร

- นำหนักกระจายแบบรวมโหมดด้วยวิธี SRSS (SRSS Load)

วิธีการนี้ เป็นการคำนวณหาการกระจายแรงกระทำจากแรงเฉือนในแต่ละชั้นที่ได้จากการรวมแรงเฉือนที่คำนวณจากแรงกระทำที่เป็นสัดส่วนกับรูปแบบการสั่นในแต่ละโหมด การรวมแรงเฉือนใช้วิธี Square Root of the Sum of the Square (SRSS) ซึ่งเป็นหลักการรวมผลตอบสนองสำหรับพฤติกรรมแบบยืดหยุ่น (elastic modal response) แม้ว่าพฤติกรรมของโครงสร้างในความเป็นจริงจะเป็นแบบไม่เชิงเส้น (nonlinear response) การคำนวณแรงเฉือนใช้สูตรดังนี้

$$V_i = \sqrt{\sum_{m=1}^n V_{im}^2} \quad (2.6)$$

โดยที่ V_i คือ แรงเฉือนรวมในแต่ละระดับชั้น i

V_{im} คือ แรงเฉือนในแต่ละระดับชั้น i สำหรับรูปแบบการสั่นที่ m

การรวมจำนวนของรูปแบบการสั่น (Number of modes) จะใช้ข้อกำหนดว่า หากค่าผลรวมของ Modal weight เท่ากับหรือมากกว่า 90% ของ Seismic weight จะถือว่าเป็นจำนวนของรูปแบบที่เพียงพอ

ข) การผลักแบบหลายโหมด (Multi-Mode Pushover Procedure)

วิธีการผลักอาคารแบบนี้เป็นวิธีหนึ่งซึ่งพิจารณาผลตอบสนองของรูปแบบการสั่นในแต่ละโหมด จึงเรียกอีกอย่างหนึ่งว่า การวิเคราะห์แบบการผลักตามรูปแบบการสั่นของโครงสร้าง (Modal Pushover Analysis, MPA) Chopra และ Goel (2002) ได้เสนอวิธีการ MPA เพื่อปรับปรุงแรงกระทำให้น่าเชื่อถือยิ่งขึ้นกว่าแรงกระทำเพียงโหมดเดียว ในวิธีการนี้เป็นการใช้แรงผลักกระทำกระจายตามแต่ละรูปแบบการสั่นของโครงสร้าง โดยใช้รูปแบบการสั่นจำนวน 3 โหมดแรก และแสดงกราฟการผลักในแต่ละโหมดสำหรับการรวมผลตอบสนองของแรงเฉือนที่ฐานและการเคลื่อนตัว ใช้วิธี Square Root of the Sum of the Square (SRSS) แม้ว่าจะเป็นที่ทราบกันว่าผลตอบสนองของโครงสร้างในความเป็นจริงมีลักษณะไม่เชิงเส้น แต่วิธีการนี้สมมุติว่า ค่าที่ได้จากการรวมผลตอบสนองแบบนี้ไม่แตกต่างจากพฤติกรรมจริงมากนัก

2.2 การวิเคราะห์ด้วยวิธีการผลักอาคารแบบวัฏจักร (Cyclic Pushover Analysis)

เนื่องจากวิธีการผลักอาคารแบบไม่เชิงเส้น (Nonlinear Pushover) ทั่วไป เป็นการให้แรงกระทำผลักอาคารให้เคลื่อนที่ไปเพียงทางเดียว (monotonic loading) ซึ่งแตกต่างจากพฤติกรรมของโครงสร้างอาคารภายใต้แรงแผ่นดินไหว อันเป็นลักษณะที่เคลื่อนที่ไป-กลับหลายรอบ (cyclic loading) วิธีการผลักอาคารแบบวัฏจักร มีหลักการ ดังนี้

2.2.1 หลักการพื้นฐาน (Basic Concept)

พิจารณาจากสมการการเคลื่อนที่สำหรับระบบโครงสร้างที่ระดับความอิสระหลายระดับ (Multi-Degree-Of-Freedom, MDOF) ซึ่งมีแรงกระทำจากคลื่นแผ่นดินไหว

$$[m]\{\ddot{u}\} + [c]\{\dot{u}\} + \{f_s\}(\{u\}, \text{sign}\{\dot{u}\}) = P_{eff}(t) \quad (2.7)$$

เมื่อ $[m], [c]$ คือเมตริกซ์ของมวลและความหน่วงของโครงสร้าง
 $\{f_s\}$ คือเวกเตอร์ของแรงต้านทานภายในของโครงสร้าง
 $\{u\}, \{\dot{u}\}$ คือเวกเตอร์ของการเคลื่อนที่สัมพัทธ์และความเร็วสัมพัทธ์ของโครงสร้างตามลำดับ

ค่าแรงแผ่นดินไหวประสิทธิผล $P_{eff}(t)$ สามารถคำนวณจาก

$$P_{eff}(t) = -[m]\{i\}\ddot{u}_g(t) \quad (2.8)$$

เมื่อ $\{i\}$ คือ เวกเตอร์หนึ่งหน่วย
 $\ddot{u}_g(t)$ คือ อัตราเร่งของพื้นดิน

สำหรับเทอม $[m]\{i\}$ เป็นการแสดงค่าการกระจายแรงแผ่นดินไหวประสิทธิผลตลอดความสูงของอาคาร และอาจเขียนในรูปของเวกเตอร์ $\{s\}$ ซึ่งขยายเป็นผลรวมของการกระจายแรงอินเนอร์เซียในแต่ละโหมด ดังนี้

$$[m]\{i\} = \{s\} = \sum_{n=1}^N s_n = \sum_{n=1}^N \Gamma_n [m]\{\phi_n\} \quad (2.9)$$

เมื่อ Γ_n คือ ค่าตัวประกอบการมีส่วนร่วมของโหมดที่ n (Modal participation factor) ซึ่งคำนวณได้จาก

$$\Gamma_n = \frac{L_n}{M_n} = \frac{\{\phi_n\}^T [m]\{i\}}{\{\phi_n\}^T [m]\{\phi_n\}} \quad (2.10)$$

โดยที่ $\{\phi_n\}$ คือ รูปแบบการสั่นโหมดที่ n

สมการการเคลื่อนที่ของโครงสร้างจึงเขียนใหม่ได้ ดังนี้

$$[m]\{\ddot{u}\} + [c]\{\dot{u}\} + \{f_s\}(\{u\}, \text{sign}\{\dot{u}\}) = -\sum_{n=1}^N \{s_n\} \ddot{u}_g(t) \quad (2.11)$$

สมการที่ 2.11 สามารถแยกการควบคุมออกเป็นสมการการเคลื่อนที่เทียบเท่าสำหรับระบบการเคลื่อนที่แบบอิสระที่มีระดับความอิสระเพียงหนึ่ง (SDOF system) โดยการใช้ค่าเวกเตอร์การเคลื่อนที่ทางด้านข้าง $\{u\}$ ในรูปแบบดังนี้

$$\{u\} = \sum_{n=1}^N \{u_n\} = \sum_{n=1}^N \{\phi_n\} q_n \quad (2.12)$$

เมื่อ q_n คือขนาดการเคลื่อนที่ของโหมดที่ n

แทนค่า $\{u\}$ จากสมการ 2.12 และค่าอนุพันธ์ของ $\{u\}$ ลงในสมการ 2.11 และใช้หลักการออร์ทอگونอลลิตี้ของมวลและค่าความหน่วงสำหรับแต่ละโหมด จะได้สมการการเคลื่อนที่ใหม่ ดังนี้

$$\ddot{D}_n + 2\xi_n \omega_n \dot{D}_n + \frac{F_{sn}}{L_n} = -\ddot{u}_g(t) \quad (2.13)$$

เมื่อ $F_{sn} = \{\phi_n\}^T \{f_s(D_n, \text{sign } \dot{D}_n)\}$ คือแรงภายในสำหรับแต่ละโหมด

$D_n, \dot{D}_n, \ddot{D}_n$ คือ การเคลื่อนที่ ความเร็วและอัตราเร่งสำหรับแต่ละโหมด ตามลำดับ

ξ_n และ ω_n คือ ความหน่วงและความถี่สำหรับแต่ละโหมด ตามลำดับ

สมการ 2.13 สามารถแก้ได้โดยวิธีการวิเคราะห์พลศาสตร์ไม่เชิงเส้นตามประวัติเวลาสำหรับระบบการเคลื่อนที่ระดับความอิสระเพียงหนึ่ง หรืออาจคำนวณโดยวิธีการเคลื่อนที่ตอบสนองเชิงสเปกตรัมแบบไม่เชิงเส้น ในการแก้สมการ 2.13 ความสัมพันธ์ระหว่าง F_{sn} และ D_n จำเป็นต้องพิจารณาโดยใช้การวิเคราะห์การผลึกอาคาร (pushover analysis)

ในการวิเคราะห์การผลึกอาคารแบบวัฏจักร (Cyclic Pushover Analysis) นำเอาสมการ 2.9 มาประยุกต์ใช้ ดังนั้น การกระจายแรงในแต่ละโหมดจะคำนวณได้ ดังนี้

$$f_n = \Gamma_n [m] \{\phi_n\} A_n \quad (2.14)$$

เมื่อ f_n คือ การกระจายแรงกระทำทางด้านข้างในแต่ละโหมด และ $A_n = \omega_n^2 D_n$.

ในกรณีนี้ D_n คือ การเคลื่อนที่สูงสุดในแต่ละรอบสำหรับแต่ละโหมด สำหรับประวัติการเคลื่อนที่ซึ่งกำหนดไว้

สำหรับโครงสร้างซึ่งมีผลตอบสนองในโหมดที่หนึ่งเป็นหลัก สมการ 2.14 จะแสดงในรูปแบบดังนี้

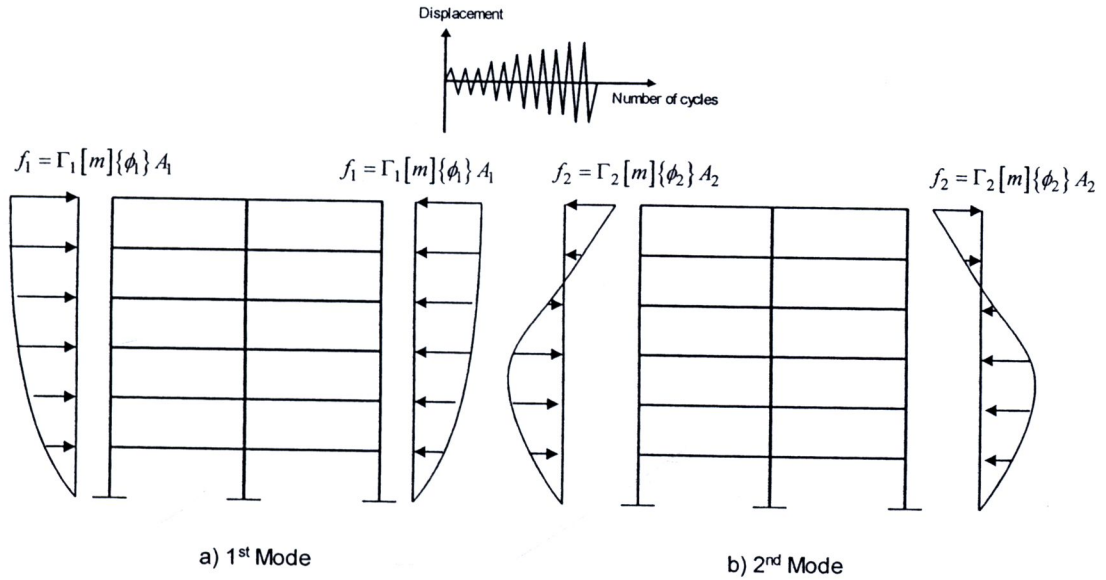
$$f_1 = \Gamma_1 [m] \{\phi_1\} A_1 \quad (2.15)$$

เมื่อ Γ_1 คือ ตัวประกอบการมีส่วนร่วมของโหมดที่หนึ่ง

A_1 คือ ค่าอัตราเร่งในโหมดที่หนึ่ง $= \omega_1^2 D_1$.

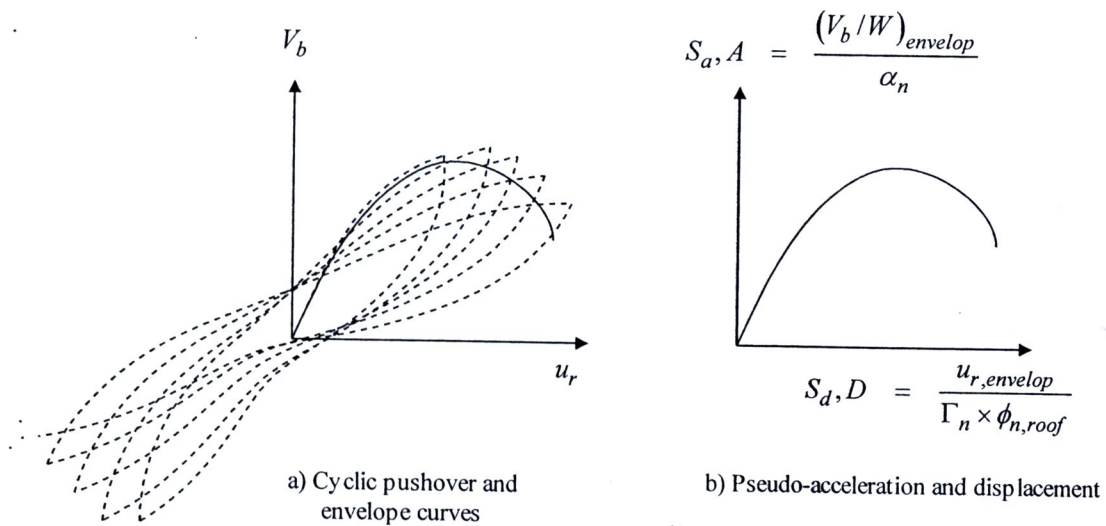
ω_1 คือ ค่าความถี่เชิงมุมในโหมดที่หนึ่ง

D_1 คือ ค่าการเคลื่อนที่สูงสุดในแต่ละรอบสำหรับประวัติการเคลื่อนที่ซึ่งกำหนดไว้ในโหมดแรก



ภาพประกอบ 1 แรงกระทำหลักอาคารแบบวิถุจักรสำหรับโหมดที่ 1 และ 2

ค่าความสัมพันธ์ระหว่างแรงเฉือนที่ฐานอาคารและการเคลื่อนที่ที่ยอดอาคารซึ่งได้จากผลการวิเคราะห์การผลึกอาคารแบบวิถุจักร จะเปลี่ยนให้อยู่ในรูปแบบของค่าอัตราเร่งเสมือนและค่าการเคลื่อนที่เสมือนโดยสมการ 2.16-2.17 ดังแสดงในภาพที่ 2



ภาพประกอบ 2 การเปลี่ยนจากกราฟการผลึกอาคารแบบวิถุจักรเป็นกราฟค่าอัตราเร่งเสมือนและค่าการเคลื่อนที่เสมือน (Capacity spectrum)

แรงเฉือนที่ฐานอาคาร V_b จะเปลี่ยนเป็นค่าอัตราเร่งเสมือน (SDOF pseudo-acceleration, S_a) หรือค่า A โดยใช้ค่าความสัมพันธ์ ดังนี้

$$S_{a,A} = \frac{(V_b/W)_{envelop}}{\alpha_n} \quad (2.16)$$

ค่าการเคลื่อนที่เสมือน (pseudo-displacement, S_d) หรือค่า D ใช้ค่าความสัมพันธ์ ดังนี้

$$S_d, D = \frac{u_{r,envelop}}{\Gamma_n \times \phi_{n,roof}} \quad (2.17)$$

เมื่อ α_n คือ สัมประสิทธิ์รวมของโหมดที่ n

$(V_b/W)_{envelop}$ คือ ค่าขอบนอกของแรงเฉือนที่ฐาน

$u_{r,envelop}$ คือ ค่าขอบนอกของการเคลื่อนที่ที่ยอดอาคาร

W คือ น้ำหนักอาคาร

$\phi_{n,roof}$ คือ ค่าการเคลื่อนที่ที่ยอดอาคารสำหรับรูปแบบการสั่นโหมดที่ n



2.3 แบบจำลองโครงสร้าง

พฤติกรรมของโครงสร้างเมื่อมีแรงแผ่นดินไหวมากกระทำ โครงสร้างอาคารจะเกิดการเคลื่อนตัวทางด้านข้างสลับทิศทางไปมา การเคลื่อนตัวดังกล่าวนี้ จะทำให้องค์อาคารของโครงสร้าง ได้แก่ คาน เสา ฐานราก และองค์อาคารอื่นๆ เกิดความเสียหาย นอกจากนี้แล้ว ส่วนที่ไม่ใช่โครงสร้างหลัก อาทิ เช่น ผนังก่ออิฐ ก็เกิดความเสียหายเช่นกัน องค์อาคารต่างๆ ที่เกิดความเสียหายเหล่านี้จะเกิดการตอบสนองต่อแรงทางด้านข้างในระดับที่เกินพิกัดยืดหยุ่น หรือที่เรียกว่าพฤติกรรมแบบอินอีลาสติก (Inelastic)

พฤติกรรมภายใต้แรงกระทำแบบกลับไปกลับมาในช่วงอินอีลาสติกขององค์อาคารคอนกรีตเสริมเหล็กมีความซับซ้อนค่อนข้างมาก โดยเฉพาะอย่างยิ่งในกรณีขององค์อาคารที่ไม่ได้ถูกออกแบบให้ต้านทานแรงแผ่นดินไหว ความสัมพันธ์ระหว่างแรงกระทำและการเสียรูปขององค์อาคารจำพวกนี้จะปรากฏคุณลักษณะต่างๆ ที่เป็นอันตรายต่อโครงสร้าง ได้แก่ การเสื่อมถอยของกำลัง (Strength Degradation) การเสื่อมถอยของสติฟเนส (Stiffness Degradation) และการเกิด Pinching ความรุนแรงของคุณลักษณะต่างๆ ข้างต้นขึ้นอยู่กับลักษณะการวิบัติที่เกิดขึ้นกับตัวองค์อาคาร ลักษณะการวิบัติที่กล่าวถึงนี้ได้แก่ การวิบัติเนื่องจากแรงดัด ทำให้เกิดการโค้งตัวของข้อหมุนพลาสติก และการครากของเหล็กเสริม การแตกร้าวของคอนกรีต การวิบัติของรอยต่อทาบ การวิบัติเนื่องจากแรงเฉือน และการวิบัติในบริเวณจุดต่อคานเสา

รายละเอียดในการจัดทำแบบจำลองชิ้นส่วนโครงสร้างต่างๆ ในองค์อาคารหลักดูได้จาก รายงานการวิจัย ไพบูลย์ (2554)

2.4 การวิเคราะห์พลศาสตร์ไม่เชิงเส้นหรือการวิเคราะห์ด้วยคลื่นแผ่นดินไหวแบบไม่เชิงเส้น (Nonlinear Dynamic Analysis or Nonlinear Time History Analysis)

การวิเคราะห์วิธีนี้เป็นการคำนวณโครงสร้างสำหรับพฤติกรรมไม่ยืดหยุ่นด้วยการใช้คลื่นแผ่นดินไหวกระทำที่ฐานอาคาร ซึ่งถือว่าเป็นวิธีที่ให้ผลตอบสนองถูกต้องที่สุด รูปแบบทั่วไปของสมการการเคลื่อนที่คำนวณจาก

$$[M]\{\Delta\ddot{u}\} + [C]\{\Delta\dot{u}\} + [K]\{\Delta u\} = -[M]\{\Delta\ddot{u}_g\} \quad (2.18)$$

โดยที่ $[M]$ คือ มวลของโครงสร้าง

$\{\Delta\ddot{u}\}$ คือ เวกเตอร์ของการเปลี่ยนอัตราเร่งตอบสนองของโครงสร้าง

$\{\Delta\dot{u}\}$ คือ เวกเตอร์ของการเปลี่ยนความเร็วตอบสนองของโครงสร้าง

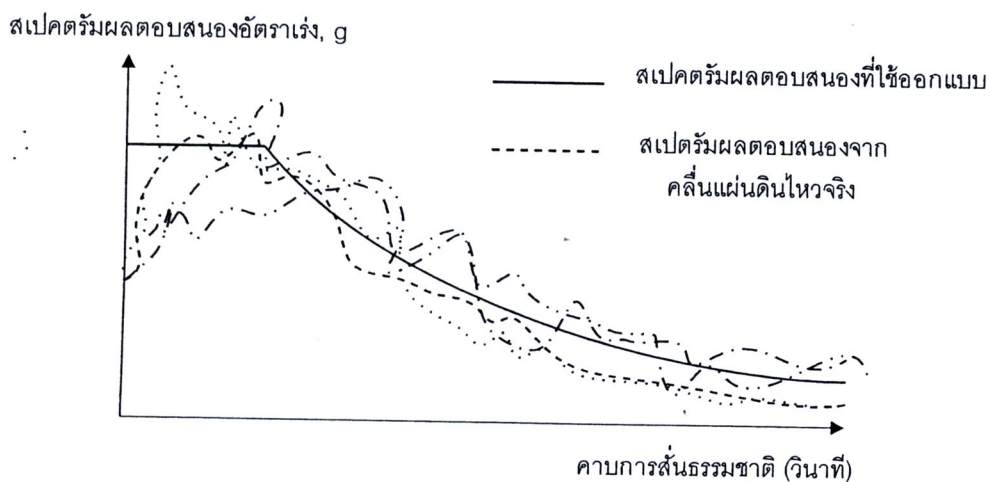
$\{\Delta\ddot{u}_g\}$ คือ เวกเตอร์ของการเปลี่ยนอัตราเร่งของพื้นดินจากคลื่นแผ่นดินไหว

การคำนวณผลตอบสนองของการเคลื่อนที่นิยมใช้วิธีอินทิเกรตทีละขั้นด้วย Newmark Constant Average Acceleration Method หรือ Linear Acceleration Method



สำหรับคลื่นแผ่นดินไหวซึ่งนำมาใช้ในการวิเคราะห์ อาจกระทำได้ 2 วิธี คือ

- ก) คลื่นแผ่นดินไหวจริง (Original Ground Motion) วิธีนี้เป็นการคัดเลือกคลื่นแผ่นดินไหวที่บันทึกได้จากเหตุการณ์ที่เกิดขึ้นจริงจำนวนหลายคลื่น โดยมีการปรับค่าอัตราเร่งด้วยค่าคงที่เพื่อให้ผลการคำนวณสเปกตรัมผลตอบสนองของคลื่นแผ่นดินไหวเหล่านี้สอดคล้องกันกับสเปกตรัมผลตอบสนองอัตราเร่งที่ใช้ออกแบบ (design acceleration response spectra) ตามข้อกำหนดประมวลข้อบังคับอาคาร

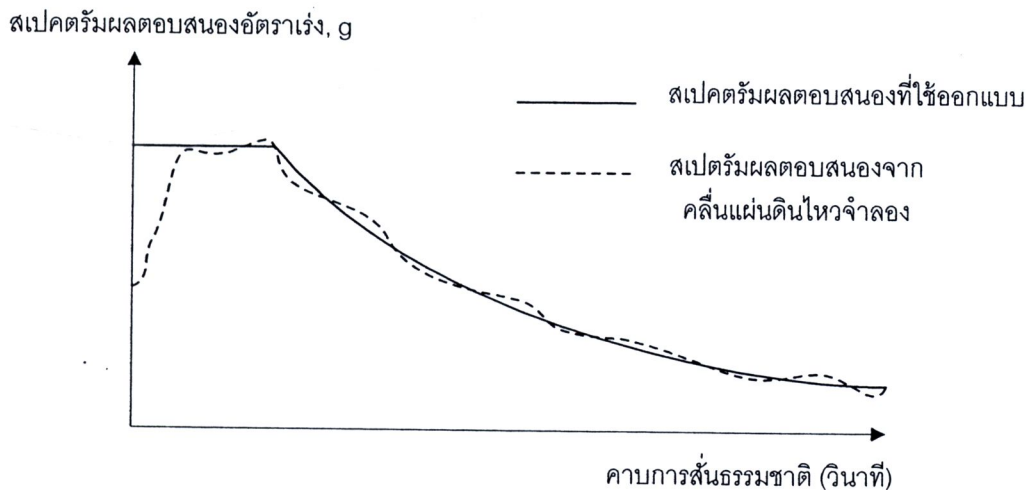


ภาพประกอบ 3 สเปกตรัมผลตอบสนองที่ใช้ออกแบบและผลจากคลื่นแผ่นดินไหวจริง



วิธีนี้มีข้อดีที่เป็นการใช้คลื่นแผ่นดินไหวที่สมกับเหตุการณ์จริง แต่จำเป็นต้องใช้คลื่นแผ่นดินไหวหลายคลื่น เพื่อให้ได้ผลการคำนวณที่ใกล้เคียงกันกับสเปกตรัมผลตอบสนองของอัตราเร่งที่ใช้ออกแบบ

- ข) คลื่นแผ่นดินไหวจำลอง (Artificial Ground Motion) วิธีนี้เป็นการปรับแก้คลื่นแผ่นดินไหวจริงด้วยฟังก์ชันความเข้มแผ่นดินไหว (Intensity Envelope Function) โดยใช้โปรแกรมคอมพิวเตอร์ที่จำลองคลื่นแผ่นดินไหวได้ เช่น SIMQKE เป็นต้น เพื่อให้ได้ผลการคำนวณสเปกตรัมผลตอบสนองของคลื่นแผ่นดินไหวจำลองนี้สอดคล้องใกล้เคียงกันกับสเปกตรัมผลตอบสนองของอัตราเร่งที่ใช้ออกแบบมากที่สุด



ภาพประกอบ 4 สเปกตรัมผลตอบสนองที่ใช้ออกแบบและผลจากคลื่นแผ่นดินไหวจำลอง

วิธีนี้มีข้อดีที่เป็นการใช้คลื่นแผ่นดินไหวเพียงคลื่นเดียวที่ให้ผลการคำนวณที่ใกล้เคียงกันกับสเปกตรัมผลตอบสนองของอัตราเร่งที่ใช้ออกแบบ แต่อาจไม่สอดคล้องกับเหตุการณ์จริงเนื่องจากคลื่นแผ่นดินไหวจริงให้ผลแรงกระทำมากที่สุดเพียงช่วงคาบการสั่นธรรมชาติช่วงใดช่วงหนึ่งเท่านั้น ดังนั้นจึงคาดว่ามีความเสี่ยงส่วนเกินที่ส่งผลต่อการสั่นในโหมดที่สูงขึ้นไปเพิ่มขึ้น อย่างไรก็ตาม วิธีนี้ก็ยังมีประโยชน์ ที่ช่วยทำให้ผลการคำนวณค่อนข้างสม่ำเสมอมากขึ้น เนื่องจากคลื่นแผ่นดินไหวแบบนี้ให้กราฟสเปกตรัมที่เรียบ โดยที่การลดความขรุขระของกราฟสเปกตรัมช่วยให้ผลการคำนวณไม่กระจัดกระจายมากเกินไป

การวิเคราะห์พลศาสตร์ไม่เชิงเส้นหรือการวิเคราะห์ด้วยคลื่นแผ่นดินไหวเหล่านี้ ข้อกำหนด FEMA-273 เสนอแนะว่าหากใช้คลื่นแผ่นดินไหวจำนวน 3 คู่ ให้ใช้ค่าผลตอบสนองสูงสุดในการออกแบบ ถ้าหากใช้คลื่นแผ่นดินไหวจำนวนตั้งแต่ 7 คู่ขึ้นไป ให้ใช้ค่าเฉลี่ยของผลตอบสนองสูงสุดที่ได้จากการคำนวณแต่ละครั้งเพื่อใช้ในการออกแบบ

2.5 ความคิดพื้นฐานของสเปกตรัมการออกแบบสำหรับความเสียหายคงที่

ความคิดในการนำสเปกตรัมการออกแบบสำหรับความเสียหายคงที่มาใช้นั้นมาจากพื้นฐานการออกแบบแนวตั้งเดิมที่ใช้หลักการของ "ความอ่อนเหนียวคงที่" ในการคำนวณความต้องการกำลัง (Strength Demand) โดยที่หลักการของความอ่อนเหนียวคงที่ เป็นการคำนวณหาความต้องการกำลังของระบบโครงสร้าง ที่ตรงกับค่าความอ่อนเหนียวเป้าหมายที่คงที่สำหรับค่าหนึ่ง P. Warnitchai และ P. Panyakapo (1999) และ Phaiboon Panyakapo (2004) ได้ตรวจสอบความน่าเชื่อถือของวิธีการเดิมนี้นี้ ผลการวิจัยชี้ว่าแนวทางการออกแบบเดิมไม่สามารถใช้ได้กับกรณีของโครงสร้างที่ตั้งอยู่บนชั้นดินอ่อน เพราะว่าค่าความเสียหายอันเกิดจากความเสียหายที่สะสมจากโครงสร้างถูกแรงกระทำกลับไปมามีค่าสูงมาก จึงได้เสนอความคิดพื้นฐานของการออกแบบใหม่ เป็นการเปลี่ยนจาก "ความอ่อนเหนียวคงที่" เป็นความคิดของการออกแบบใหม่คือ "ความเสียหายคงที่" นั่นคือ การออกแบบจะต้องมุ่งที่จะจำกัดค่าความเสียหายทั้งหมดของโครงสร้างเพื่อให้อยู่ในระดับที่ยอมรับได้ ซึ่งระดับความเสียหายนี้จะกำหนดให้มีเป้าหมายคือมีค่าคงที่ตลอดทุกๆ โครงสร้างอาคาร โดยที่โครงสร้างแต่ละอาคารจะถูกสมมติให้แทนที่ด้วยคาบเวลาของการสั่นตามธรรมชาติของโครงสร้างเมื่อพิจารณาระบบโครงสร้างเป็น Single-Degree-Of-Freedom (SDOF) วิธีการออกแบบแนวใหม่นี้ตั้งอยู่บนพื้นฐานของความต้องการกำลังสำหรับค่าความเสียหายคงที่ (*Constant-Damage Strength Demand Spectra, CDASDS*) โดยที่ CDASDS เป็นการเขียนค่ากำลังครากของระบบโครงสร้าง SDOF เทียบกับคาบเวลาของการสั่นตามธรรมชาติของโครงสร้าง ซึ่งต้องการที่จะจำกัดค่าความเสียหาย \overline{DI} ที่ค่าเป้าหมายค่าหนึ่ง ซึ่งมีค่าคงที่ตลอดทุกๆ คาบเวลาของการสั่นตามธรรมชาติของโครงสร้าง

แนวทางการออกแบบโดยวิธีการนี้ จะให้ประโยชน์มากกว่าวิธีการเดิม นั่นคือ ในการออกแบบแนวทางเดิมนั้น ค่าความปลอดภัยของโครงสร้างยังไม่ทราบชัดเจน โดยทั่วไป วิศวกรผู้ออกแบบจะสมมติว่า หากโครงสร้างได้รับการออกแบบให้มีค่ากำลังที่จุดครากเท่ากับความต้องการกำลังสำหรับค่าความอ่อนเหนียวเป้าหมายค่าหนึ่ง และออกแบบให้มีค่ากำลังความอ่อนเหนียว (Ductility Capacity) เหมาะสมกับพฤติกรรมความอ่อนเหนียว (Ductility Performance) โครงสร้างนั้นจะมีความปลอดภัยภายใต้แรงแผ่นดินไหว ซึ่งความคิดนี้ใช้ไม่ได้สำหรับทุกๆ คลื่นแผ่นดินไหว

โดยการออกแบบแนวทางใหม่ ค่าระดับความเสียหายเป้าหมายภายใต้แรงแผ่นดินไหวสามารถที่จะเลือกได้ตั้งแต่เริ่มต้นของการออกแบบ นั่นคือ วิศวกรผู้ออกแบบสามารถจำกัดระดับค่าความเสียหายที่ระดับที่ต้องการได้ ดังนั้น โครงสร้างที่ออกแบบโดยหลักการนี้ คือ มีค่ากำลังที่จุดคราก (Yield Strength) เท่ากับหรือมากกว่าค่าความต้องการกำลัง (Strength Demand) สำหรับระดับความ

เสียหายเป้าหมาย \overline{DI} จะมีค่าระดับความเสียหายจำกัดอยู่ในระดับที่ยอมรับได้ ยิ่งไปกว่านั้น ค่าความเสียหายสะสมที่ปรากฏว่ามีผลมากในกรณีของสภาพดินอ่อน ก็ยังได้รับการนำไปคำนวณอย่างเหมาะสมด้วย โดยการใช้แบบจำลองความเสียหาย Park-Ang Damage Model (1985) ในการคำนวณค่าความต้องการกำลัง



2.6 ความคิดพื้นฐานของตัวประกอบของการลดกำลังสำหรับความเสียหายคงที่

โดยที่การคำนวณหา Constant-Damage Design Spectra จำเป็นต้องมีการคำนวณโดยวิธี Nonlinear Response Analysis สำหรับ CDASDS โดยใช้คลื่นแผ่นดินไหวที่บันทึกได้บนชั้นดินแต่ละสภาพเป็นจำนวนมาก และเนื่องจากขนาดและรูปร่างของ Constant-Damage Design Spectra ขึ้นอยู่กับระดับความเสียหายเป้าหมาย ระดับค่าความอ่อนเหนียวเป้าหมาย รูปแบบของพฤติกรรมการรับแรงแบบวัฏจักร คาบการสั่นตามธรรมชาติของโครงสร้าง และสภาพชั้นดินของแต่ละแห่ง ดังนั้นการคำนวณหา Constant-Damage Design Spectra เป็นขบวนการ คำนวณสำหรับแต่ละระดับค่าความเสียหายเป้าหมาย แต่ละระดับค่าความอ่อนเหนียวเป้าหมาย แต่ละรูปแบบของพฤติกรรมการรับแรงแบบวัฏจักร แต่ละคาบการสั่นตามธรรมชาติของโครงสร้าง และแต่ละประเภทของสภาพชั้นดินของแต่ละแห่ง ซึ่งเป็นขบวนการที่ต้องใช้เวลาในการคำนวณมาก ซึ่งขบวนการคำนวณเหล่านี้ วิศวกรผู้ออกแบบโครงสร้างอาคารทั่วไปไม่สามารถที่จะกระทำได้ง่าย

แต่เนื่องจากค่ากำลังทางด้านข้างที่ใช้ในการออกแบบโครงสร้างอาคารต้านทานแรงแผ่นดินไหวอันมีพฤติกรรมเป็น Inelastic behavior จะน้อยกว่าค่ากำลังทางด้านข้างของโครงสร้างที่มีพฤติกรรมอยู่ในช่วงยืดหยุ่น ดังนั้น Inelastic Design Spectra จึงสามารถสร้างขึ้นมาจาก Elastic Design Spectra ได้ โดยการลดค่าขนาดของ Elastic Design Spectra ด้วยค่าตัวประกอบของการลดกำลัง (Strength Reduction Factors) โดยที่ค่า Strength Reduction Factors คำนวณจาก

$$R_D = \frac{F_y(\mu = 1)}{F_y(DI = \overline{DI}, \mu = \mu_i)} \quad (2.19)$$

เมื่อ R_D

คือ ตัวประกอบของการลดกำลัง (Strength Reduction Factor)

$F_y(\mu = 1)$

คือ ค่ากำลังครากสำหรับระบบอีลาสติก (Elastic System)

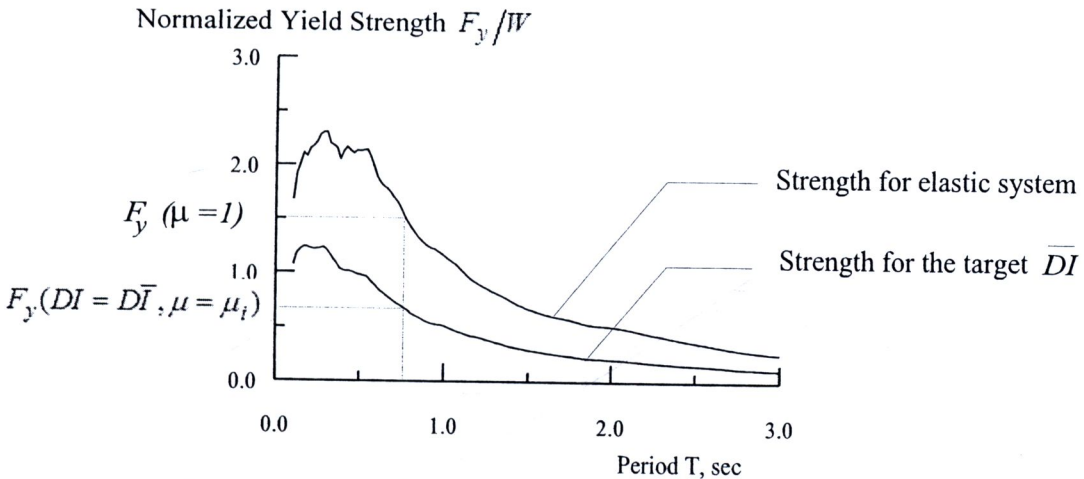
$F_y(DI = \overline{DI}, \mu = \mu_i)$ คือ ค่ากำลังครากสำหรับโครงสร้างมีค่าความเสียหายน้อยกว่าหรือ

เท่ากับค่า \overline{DI} ที่กำหนดไว้ และมีค่าความเหนียว μ เท่ากับค่า μ ที่

กำหนด

โดยที่ ค่า $F_y(\mu = 1)$ และ $F_y(DI = \overline{DI}, \mu = \mu_i)$ คำนวณได้จากภาพที่ 5 เมื่อกำหนดคาบการสั่นธรรมชาติ T ของโครงสร้าง

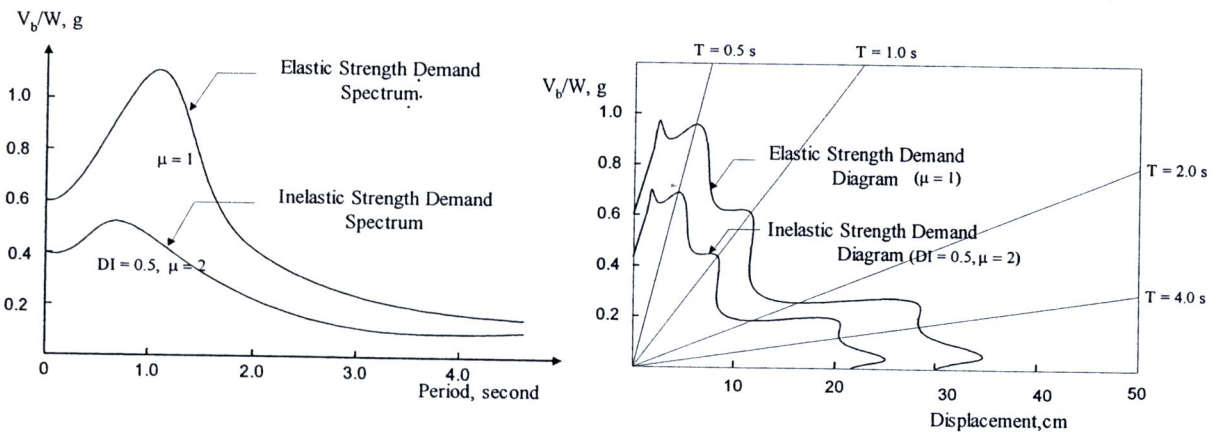
การที่จะคำนวณหา Inelastic Design Spectra ได้อย่างถูกต้องแม่นยำนั้นขึ้นอยู่กับการประเมินหาค่าตัวประกอบของการลดกำลังมาอย่างดี ทั้งนี้ต้องอาศัยการวิเคราะห์หาความสัมพันธ์ระหว่าง Inelastic Design Spectra และ Elastic Design Spectra อย่างเหมาะสม



ภาพประกอบ 5 ค่าความต้องการกำลังระบบอีลาสติกและระบบความเสียหายคงที่ (ไพบูลย์ ปัญญาคะโป 2548, Panyakapo, P. 2002)

2.7 ความคิดพื้นฐานของแผนผังความต้องการกำลังสำหรับค่าความเสียหายคงที่

แผนผังความต้องการกำลังของโครงสร้างอาคารเพื่อด้านทานแรงแผ่นดินไหว มีการสร้างขึ้นเพื่อตรวจสอบสมรรถนะของอาคารว่ามีค่ากำลังด้านทานต่อแรงแผ่นดินไหวเพียงพอ โดยพัฒนาจากกราฟ Strength Demand Spectrum ซึ่งเป็นการเขียนกราฟความสัมพันธ์ระหว่างความต้องการกำลังและคาบการสั่นธรรมชาติของโครงสร้าง ดังแสดงในภาพที่ 6ก ให้แสดงอยู่ในรูปของ Strength Demand Diagram ซึ่งเปลี่ยนมาเป็นความสัมพันธ์ระหว่างความต้องการกำลังและการเคลื่อนที่ของโครงสร้าง ดังแสดงในภาพที่ 6ข แทน



ภาพประกอบ 6ก Strength Demand Spectrum

ภาพประกอบ 6ข Strength Demand Diagram

(ไพบูลย์ ปัญญาคะโป 2547)

แผนผังความต้องการกำลังนี้เป็นแนวทางใหม่จากเดิมกล่าวคือ เป็นความต้องการกำลังที่แสดงค่าระดับความเสียหายเป้าหมายอยู่ด้วย สำหรับวิธีการเปลี่ยนค่าจาก Strength Demand Spectrum มาเป็น Strength Demand Diagram สามารถทำได้ดังนี้

ค่ากำลังของโครงสร้าง

$$\frac{V_b}{W} = \frac{\left(\frac{V_b}{W}\right)_{\mu=1}}{R_D} \quad (2.20)$$

ค่าการเคลื่อนที่สูงสุดของโครงสร้าง

$$D = \mu \frac{1}{R_D} \left(\frac{T}{2\pi}\right)^2 \left(\frac{V_b}{W}\right)_{\mu=1} \quad (2.21)$$

โดยที่ D คือ การเคลื่อนที่สูงสุดของโครงสร้างอาคาร

$\left(\frac{V_b}{W}\right)_{\mu=1}$ คือ สัมประสิทธิ์แรงเฉือนที่ฐานของอาคาร เมื่อโครงสร้างเป็นระบบอิลาสติก

เทียบเท่ากับกำลังของโครงสร้างอาคาร

μ คือ ค่าความเหนียวของโครงสร้าง

R_D คือ ค่าตัวประกอบของการลดกำลังจากระบบอิลาสติกเป็นระบบอินอิลาสติก

สำหรับค่าระดับความเสียหายที่กำหนด

T คือ ค่าคาบการสั่นธรรมชาติของโครงสร้าง

ผลงานวิจัยของ Phaiboon Panyakapo (2006) ได้เสนอผลการวิเคราะห์หา ค่าตัวประกอบของการลดกำลังสำหรับความเสียหายคงที่และค่าการเคลื่อนที่สูงสุดของโครงสร้างเพื่อใช้สร้าง แผนผังความต้องการกำลังสำหรับค่าความเสียหายคงที่ Constant Damage Strength Demand Diagram (CDSDD) ดังแสดงในตารางที่ 1 ซึ่งใช้สำหรับโครงสร้างที่ตั้งอยู่บนชั้นดินอ่อน

ตารางที่ 1 แบบจำลองทางคณิตศาสตร์ของค่าตัวประกอบของการลดกำลังสำหรับความเสียหายคงที่ และค่าการเคลื่อนที่สูงสุดของโครงสร้าง (Phaiboon Panyakapo, 2006)

| พฤติกรรม การรับแรง | ค่าตัวประกอบของการลดกำลัง | ค่าการเคลื่อนที่สูงสุดของโครงสร้าง |
|---|---|---|
| Elastic Perfectly Plastic, EPP | $R_D = \frac{(9.0DI^{1.45})(0.25\mu)^{1.1}}{Z} + 1$ | $D = \frac{Z\mu\left(\frac{T}{2\pi}\right)^2}{(9.0DI^{1.45})(0.25\mu)^{1.1} + Z\left(\frac{V_b}{W}\right)_{\mu=1}}$ |
| Bilinear, BI | $R_D = \frac{(9.5DI^{1.48})(0.25\mu)^{1.1}}{Z} + 1$ | $D = \frac{Z\mu\left(\frac{T}{2\pi}\right)^2}{(9.5DI^{1.48})(0.25\mu)^{1.1} + Z\left(\frac{V_b}{W}\right)_{\mu=1}}$ |
| Clough, CL | $R_D = \frac{(9.0DI^{1.82})(0.25\mu)^{1.3}}{Z} + 1$ | $D = \frac{Z\mu\left(\frac{T}{2\pi}\right)^2}{(9.0DI^{1.82})(0.25\mu)^{1.3} + Z\left(\frac{V_b}{W}\right)_{\mu=1}}$ |
| Modified Takeda, MT | $R_D = \frac{(8.0DI^{1.84})(0.25\mu)^{1.3}}{Z} + 1$ | $D = \frac{Z\mu\left(\frac{T}{2\pi}\right)^2}{(8.0DI^{1.84})(0.25\mu)^{1.3} + Z\left(\frac{V_b}{W}\right)_{\mu=1}}$ |
| Park's general three parameter, PA | $R_D = \frac{(7.0DI^{2.05})(0.25\mu)^{1.3}}{Z} + 1$ | $D = \frac{Z\mu\left(\frac{T}{2\pi}\right)^2}{(7.0DI^{2.05})(0.25\mu)^{1.3} + Z\left(\frac{V_b}{W}\right)_{\mu=1}}$ |

สำหรับชั้นดินอ่อน

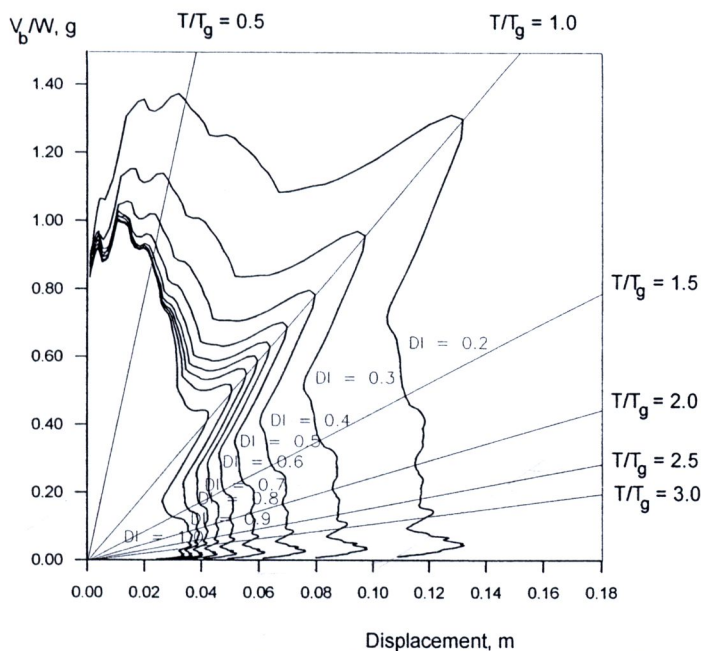
$$Z = 1 + \frac{1}{0.44(DI)^{(-1.92)}T/T_g} - \frac{1}{(2.08 - 1.63DI)T/T_g} \text{EXP}\left[-4.0(\ln(T/T_g) - 0.20)^2\right]$$

(2.22)

เมื่อ DI คือ ค่าระดับความเสียหายเป้าหมาย

T_g คือ คาบการสั่นสำคัญของพื้นดิน

กราฟแผนผังความต้องการกำลังสำหรับความเสียหายคงที่ ซึ่งคำนวณสำหรับพฤติกรรมการรับแรงแบบ Elastic Perfectly Plastic (EPP) ตามแบบจำลองทางคณิตศาสตร์ในตาราง 1 สำหรับค่าความเสียหายเป้าหมาย $DI = 0.2 - 1.0$ แสดงในภาพที่ 7



ภาพประกอบ 7 แผนผังความต้องการกำลังสำหรับความเสียหายคงที่ สำหรับชั้นดินอ่อน $\mu = 4$ (Phaiboon Panyakapo, 2006)

2.8 ความคิดพื้นฐานของวิธีการสเปกตรัมของความสามารถ

การคำนวณหาความสามารถต้านทานแรงแผ่นดินไหวของอาคาร ตามที่เสนอแนะโดย ATC-40 ใช้วิธีการ Nonlinear Static Analysis หรือ Nonlinear Pushover Analysis โดยการคำนวณหาความสัมพันธ์ระหว่างแรงเฉือนที่ฐานของอาคารและค่าการเคลื่อนที่ของยอดอาคาร ดังแสดงในภาพประกอบ 8a ขั้นตอนการคำนวณนี้จะต้องใช้โปรแกรมคอมพิวเตอร์ซึ่งสามารถจำลองพฤติกรรมของโครงสร้างในลักษณะไม่เชิงเส้นได้เช่น โปรแกรม SAP2000, DRAIN2D, IDARC, RUAUMOKO, PERFORM3D เป็นต้น จากผลการวิเคราะห์นี้ จะสามารถเขียนเป็นกราฟการผลักอาคารได้ดังแสดงในภาพประกอบ 8b ซึ่งแสดงความสัมพันธ์จนถึงการวิบัติของอาคาร

จากนั้นจึงเปลี่ยนกราฟการผลักอาคารมาเป็นแผนผังความสามารถ (Capacity Diagram) ดังแสดงในภาพประกอบ 8c ได้โดยการคำนวณดังนี้

$$S_a = \frac{V_b / W}{\alpha_1} \tag{2.23}$$

$$S_d = \frac{\Delta_{roof}}{PF_1 \times \phi_{1,roof}} \tag{2.24}$$

โดยที่ S_a คือ อัตราแรงของโครงสร้างเมื่อถูกแรงกระทำจากแผ่นดินไหว

S_d คือ การเคลื่อนตัวของโครงสร้างเมื่อถูกแรงกระทำจากแผ่นดินไหว

α_1 คือ สัมประสิทธิ์ของ modal mass สำหรับรูปแบบการสั่นตอบสนองแบบแรก

(1st mode) คำนวณได้จาก

$$\alpha_1 = \frac{\left[\sum_{i=1}^n (w_i \phi_{i1}) / g \right]^2}{\left[\sum_{i=1}^n w_i / g \right] \left[\sum_{i=1}^n (w_i \phi_{i1}^2) / g \right]} \quad (2.25)$$

w_i คือ น้ำหนักอาคารที่ระดับชั้น i

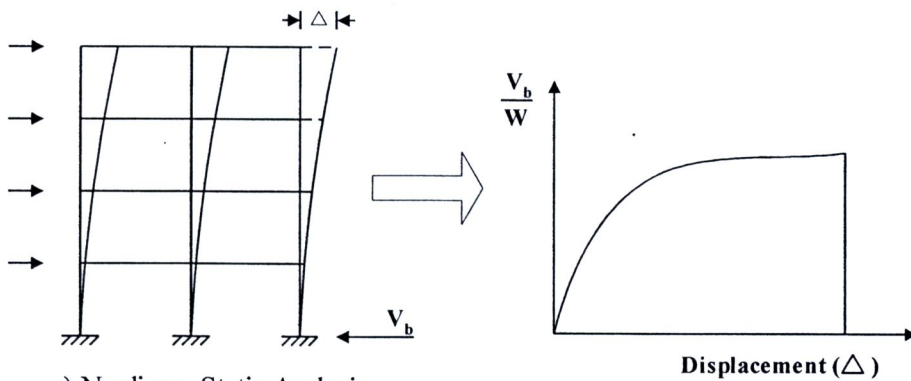
ϕ_{i1} คือ ค่าระดับการเคลื่อนตัวที่ระดับชั้น i สำหรับรูปแบบการสั่นตอบนองแบบแรก

Δ_{roof} คือ การเคลื่อนตัวที่ระดับชั้นหลังคาของโครงสร้างเมื่อถูกแรงกระทำจากแผ่นดินไหว

PF_1 คือ Participation Factor สำหรับรูปแบบการสั่นตอบนองแบบแรก คำนวณได้จาก

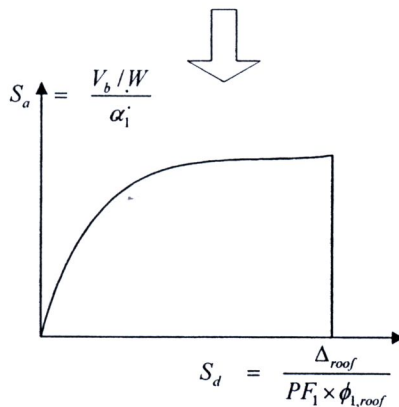
$$PF_1 = \frac{\left[\sum_{i=1}^n (w_i \phi_{i1}) / g \right]}{\left[\sum_{i=1}^n (w_i \phi_{i1}^2) / g \right]} \quad (2.26)$$

$\phi_{1,roof}$ คือ ค่าระดับการเคลื่อนตัวที่ระดับชั้นหลังคาของโครงสร้างสำหรับรูปแบบการสั่นตอบนองแบบแรก



a) Nonlinear Static Analysis Pushover Method

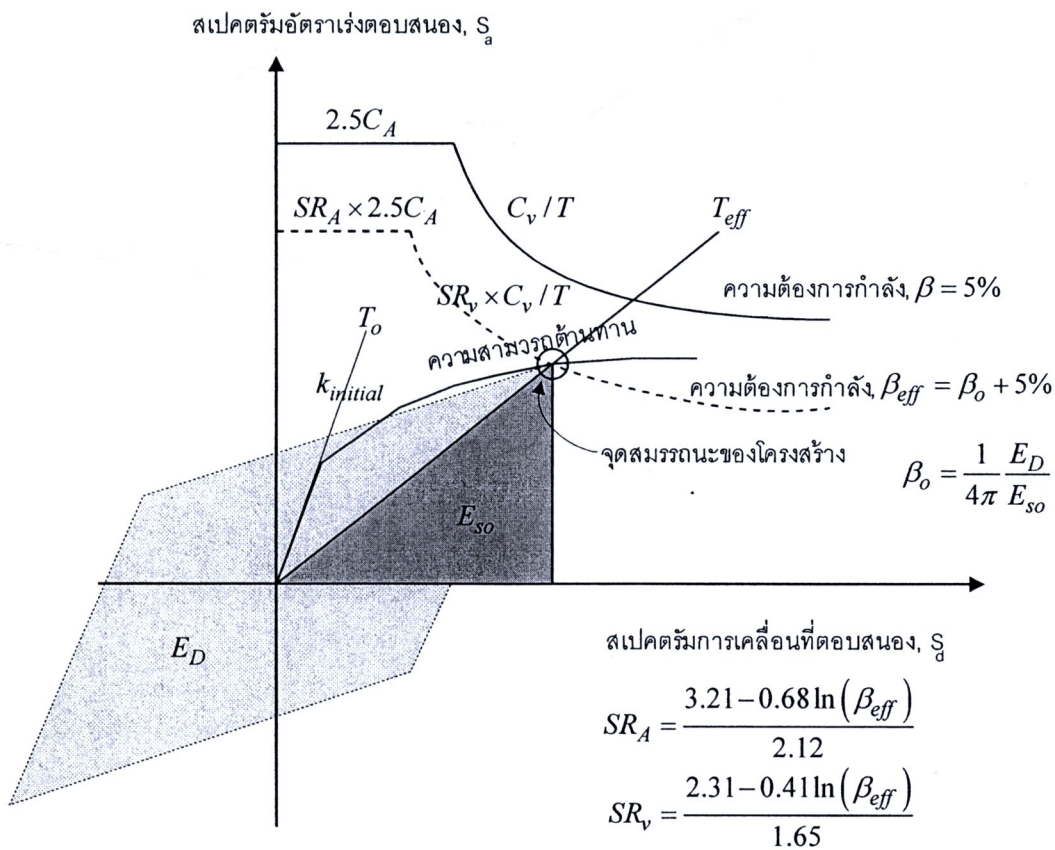
b) Pushover Curve



c) Capacity Diagram

ภาพประกอบ 8 การคำนวณหาแผนผังความสามารถต้านทานแรงแผ่นดินไหวของอาคาร (ATC-40)

ในวิธีการสเปกตรัมของความสามารถ (Capacity Spectrum Method, CSM) ตามที่เสนอโดย ATC-40 เป็นการพัฒนาเพื่อหาสมรรถนะของโครงสร้างอาคาร ด้วยการหาจุดตัดกันระหว่าง แผนผังความต้องการกำลังและความสามารถต้านทานแผ่นดินไหว (Demand-Capacity Diagram or Acceleration-Displacement Response Spectrum, ADRS) ดังแสดงในภาพประกอบ 9 วิธีนี้เรียกได้อีกอย่างหนึ่งว่า ขั้นตอนการใช้เชิงเส้นเทียบเท่า (Equivalent Linearization Procedure) เนื่องจากเป็นการคำนวณหาการเคลื่อนที่ตอบสนองของระบบไม่เชิงเส้นด้วยระบบเชิงเส้นเทียบเท่า โดยการใช้ค่าคาบการสั่นธรรมชาติประสิทธิผล T_{eff} และค่าความหน่วงประสิทธิผล β_{eff}



ภาพประกอบ 9 วิธีการสเปกตรัมของความสามารถ (Capacity Spectrum Method) โดย ATC-40

การหาจุดสมรรถนะของโครงสร้างนี้ ได้มีการปรับปรุงวิธีการใหม่เพื่อให้ถูกต้องมากยิ่งขึ้น โดย FEMA-440 ซึ่งเสนอค่าตัวคูณปรับแก้สำหรับความต้องการกำลัง ดังนี้

$$M = \frac{a_{max}}{a_{eff}} = \left(\frac{T_{eff}}{T_{sec}} \right)^2 = \left(\frac{T_{eff}}{T_0} \right)^2 \left(\frac{T_0}{T_{sec}} \right)^2 \tag{2.27}$$

โดยที่ a_{max} คือ ค่าอัตราเร่งตอบสนองสูงสุดที่จุดสมรรถนะของโครงสร้าง

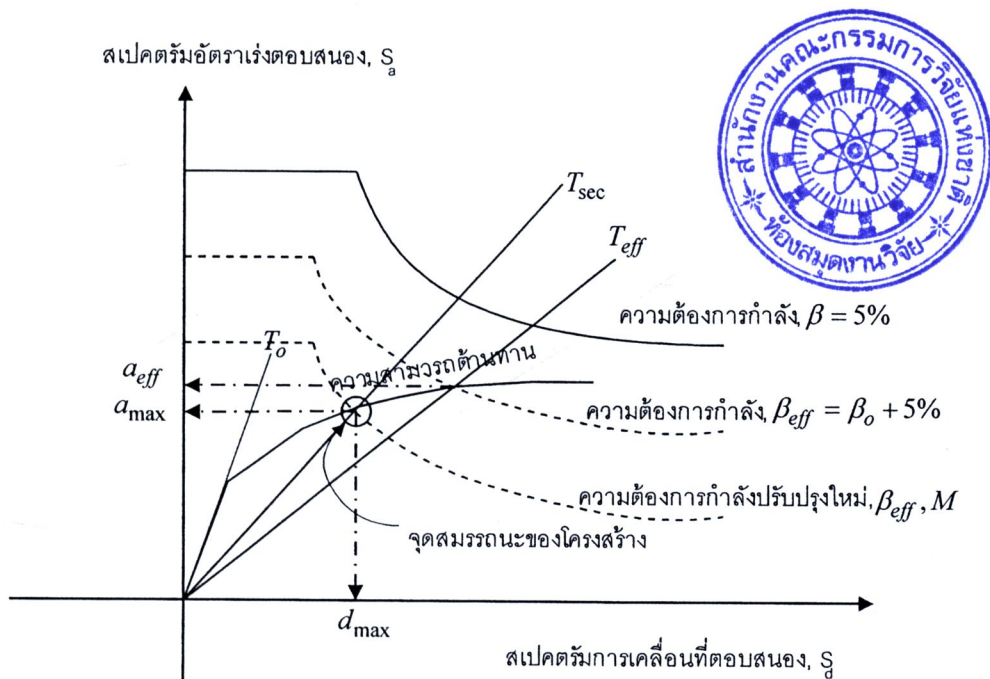
a_{eff} คือ ค่าอัตราเร่งตอบสนองประสิทธิผลที่สอดคล้องกับ T_{eff}

T_{eff} คือ คาบการสั่นธรรมชาติประสิทธิผล

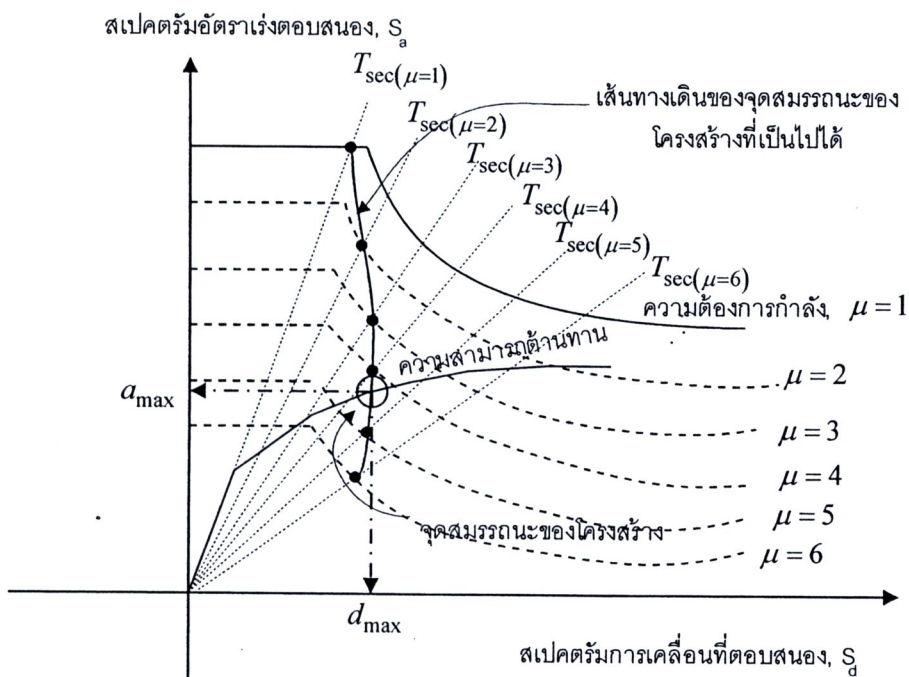
T_{sec} คือ คาบการสั่นธรรมชาติที่คำนวณจากสติเฟนแบบ secant

T_0 คือ คาบการสั่นธรรมชาติที่คำนวณจากสติเฟนเริ่มต้น

สำหรับวิธีการวิเคราะห์หาจุดสมรรถนะของโครงสร้าง อาจใช้วิธีการที่แสดงในภาพประกอบ 10 - 11



ภาพประกอบ 10 วิธีการสเปกตรัมของความสามารถปรับปรุงใหม่
(Modified Capacity Spectrum Method) โดย FEMA-440



ภาพประกอบ 11 การหาจุดสมรรถนะของวิธีการสเปกตรัมของความสามารถปรับปรุงใหม่
โดย FEMA-440

2.9 การตรวจสอบสมรรถนะของโครงสร้างอาคารโดยหลักการความเสียหายคงที่

ในการหาสมรรถนะของโครงสร้างอาคารโดยหลักการความเสียหายคงที่ จะใช้หลักการว่า ค่าความเสียหาย (DI) ของ Demand diagram เท่ากันกับ ค่าความเสียหาย (DI) ของ Capacity diagram หรือค่าความเสียหายเป้าหมาย ที่ทำให้กราฟของ Demand ทับกันกับกราฟของ Capacity นั่นคือ

$$DI_{demand} = DI_{capacity} \quad (2.28)$$

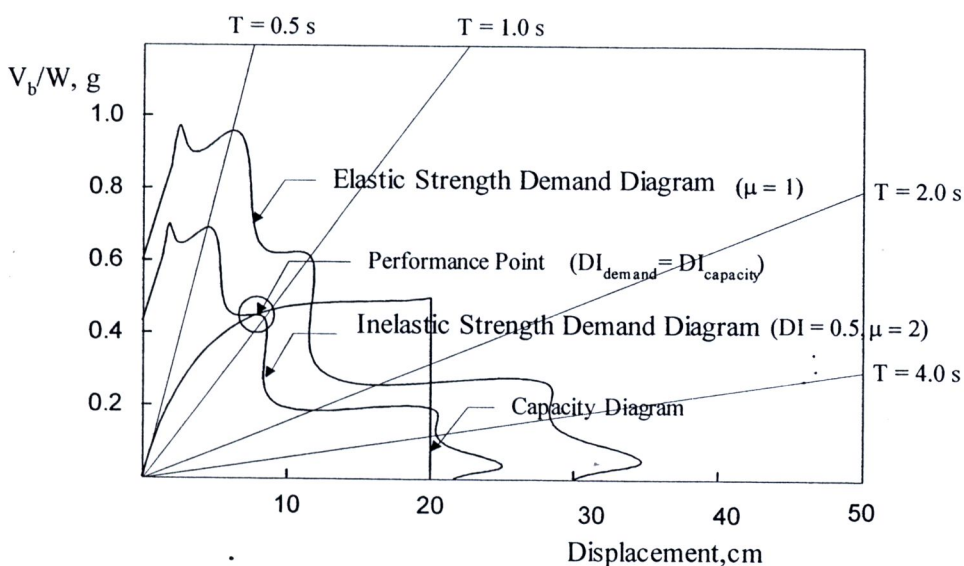
โดยที่ DI_{demand} คือ ค่าระดับความเสียหายของ Strength Demand Diagram

$DI_{capacity}$ คือ ค่าระดับความเสียหายของ Strength Capacity Diagram

ทั้งนี้โดยวิธีการคำนวณหาจุดตัดกันของกราฟ Capacity กับ Demand สำหรับค่าความเสียหายเป้าหมาย ต่างๆกัน ที่เป็นไปได้ทั้งหมด จากแผนผัง Demand – Capacity Diagram และบันทึกค่าที่ได้บนกราฟของ Demand Diagram เป็นค่าของ S_a และ S_d สำหรับค่า DI_{demand} ต่างๆกัน

สำหรับการคำนวณค่าระดับความเสียหาย (damage index) รวมของโครงสร้าง จะต้องใช้โปรแกรมวิเคราะห์ที่โครงสร้างซึ่งสามารถคำนวณความเสียหายของแต่ละองค์อาคารได้ เช่น โปรแกรม RUAUMOKO, IDARC เป็นต้น

เมื่อทำการเปรียบเทียบกันระหว่างค่า DI_{demand} และ $DI_{capacity}$ จุดที่ทำให้ค่าทั้งสองนี้ใกล้เคียงกันมากที่สุดจะเป็นค่าสมรรถนะของโครงสร้าง (Performance Point) ดังแสดงในภาพประกอบ 12



ภาพประกอบ 12 การหาสมรรถนะของโครงสร้างโดยหลักการความเสียหายคงที่
(ไพบูลย์ ปัญญาคะโป 2547)

2.10 การประเมินความเสียหายของโครงสร้างเนื่องจากแรงแผ่นดินไหว

ในการศึกษานี้ ได้นำแบบจำลองความเสียหาย Park-Ang damage model (1985) มาใช้ในการประเมินความเสียหาย โดยความเสียหายได้แสดงอยู่ในรูปของผลรวมของความเสียหายที่เกิดจากค่าการโก่งตัวแบบไม่ยืดหยุ่นและความเสียหายสะสม อันเป็นผลมาจากผลตอบสนองกลับไปมา ความเสียหายนี้แสดงอยู่ในรูปของดัชนีความเสียหาย (Damage Index) ดังนี้:

$$DI = \frac{\delta_m}{\delta_u} + \beta \frac{E_h}{F_y \delta_u} \quad (2.29)$$

โดยที่ δ_m เป็นค่าการโก่งตัวสูงสุดของระบบอันเกิดจากแผ่นดินไหว; δ_u เป็นค่าการโก่งตัวสูงสุด ซึ่งเกิดขึ้นในกรณี Monotonic Loading; F_y เป็นค่ากำลัง ณ จุดครากของระบบโครงสร้าง; E_h เป็นค่าการดูดซับพลังงาน (hysteretic energy) ของระบบโครงสร้าง; และ β เป็นค่าคงที่ซึ่งไม่มีหน่วย โดยบ่งบอกถึงความสำคัญของความเสียหายเนื่องจากผลตอบสนองกลับไปมา

ดัชนีความเสียหาย DI ซึ่งน้อยกว่า 0.4 พิจารณาว่าเป็นระดับความเสียหายที่อาจซ่อมแซมได้ในขณะที่ DI มากกว่า 0.4 พิจารณาว่าเป็นระดับความเสียหายที่เกินกว่าจะซ่อมแซมได้ และค่า DI มากกว่า 1.0 พิจารณาว่าเป็นระดับการพังทลายของโครงสร้าง ในการประเมินค่าความเสียหาย ค่ากำลัง ณ จุดคราก (yield strength, F_y) ถูกสมมุติให้เท่ากับค่าความต้องการกำลัง (yield strength demand, \tilde{F}_y) สำหรับค่าความอ่อนเหนียวเป้าหมาย $\tilde{\mu}$ ค่าพารามิเตอร์ δ_m และ E_h จะคำนวณจาก Inelastic Displacement และ Force Time Histories ของโครงสร้าง ซึ่งคำนวณได้จากเทคนิคการอินทิเกรตที่ละชั้นของสมการ การเคลื่อนที่ของระบบ

ค่าพารามิเตอร์ δ_u ซึ่งบ่งบอกถึงค่ากำลังการโก่งตัวเมื่อมีแรงกระทำแบบค่อยๆกระทำเพียงด้านเดียวของโครงสร้าง มีความสัมพันธ์กับค่าความอ่อนเหนียวเป้าหมาย $\tilde{\mu}$ ความสัมพันธ์นี้สามารถวิเคราะห์หาได้ หากค่าพฤติกรรมความเหนียวที่ต้องการสำหรับค่าความอ่อนเหนียวเป้าหมาย $\tilde{\mu}$ ได้มีการนิยามไว้อย่างชัดเจน ใน New Zealand code (SANZ, 1992) และ Eurocode 8 (CEN, 1994) ได้มีการนิยามไว้ ในขณะที่มาตรฐานอื่นๆไม่ได้มีการกำหนด สำหรับการศึกษานี้ได้นำ New Zealand code มาใช้ โดยกำหนดว่า โครงสร้างที่ได้มีการออกแบบให้มีค่าความอ่อนเหนียวเป้าหมาย $\tilde{\mu}$ ควรจะสามารถต้านทานแรงกระทำโดยมีค่าการเคลื่อนที่ในแนวราบถึง $\pm \tilde{\mu} \delta_y$ โดยไม่ทำให้ค่ากำลังต้านทานลดลงเกินกว่า 20% ในการศึกษานี้ สมมุติว่า ค่าดัชนีความเสียหายของโครงสร้างที่ได้ออกแบบสำหรับค่าความอ่อนเหนียวเป้าหมาย $\tilde{\mu}$ จะมีค่าถึง 1.0 (การพังทลายทั้งหมด, $DI = 1.0$) ถ้าหากโครงสร้างถูกกระทำให้มีการเคลื่อนที่ในแนวราบไปถึง $\pm \tilde{\mu} \delta_y$ จำนวนครบ 4 รอบ ดังนั้นจึงอาจประยุกต์ใช้สมมุติฐานนี้กับแบบจำลอง Park-Ang model ในสมการที่ 2.29 ได้ นั่นคือ หลังจากที่โครงสร้างถูก

กระทำให้มีการเคลื่อนที่ไปสูงสุดถึง $\tilde{\mu}\delta_y$ จนครบจำนวน 4 รอบ ค่าดัชนีความเสียหาย DI จะมีค่าถึง 1.0 โดยการแทนค่า $\delta_m = \tilde{\mu}\delta_y$ และ $DI = 1.0$ เข้าในสมการ 2.29 จะได้ว่า

$$\frac{\delta_u}{\delta_y} = (\tilde{\mu} + \beta E_{hm}) \quad (2.30)$$

โดยที่ $E_{hm} = E'_h/F_y\delta_y$; E'_h แทนพลังงาน hysteretic energy ภายใต้ force-deformation loops จำนวน 4 รอบ และ $\delta_y = F_y/\omega^2 m$ ควรทราบว่าเทอม δ_u/δ_y จะหมายถึง monotonic ductility capacity, μ_u ของโครงสร้าง เทอมนี้อาจขึ้นอยู่กับการค่าความอ่อนเหนียวเป้าหมาย $\tilde{\mu}$, ค่าพารามิเตอร์ β , และค่า normalized hysteretic energy E_{hm} สำหรับแต่ละแบบจำลองของระบบ

ด้วยวิธีการนี้ จึงสามารถประเมินความเสียหายของโครงสร้างได้ด้วยสมการที่ 2.30

2.11 ผลงานวิจัยที่เกี่ยวข้อง

การพัฒนาการออกแบบอาคารต้านทานแรงแผ่นดินไหวโดยวิธีการทำแผนผังของ Demand-Capacity Diagram เป็นการแสดงแผนผังการออกแบบของ ความต้องการกำลัง (Strength Demand Diagram) และกำลังต้านทานของโครงสร้าง (Capacity Diagram) โดยจะมีการสร้างแผนผังทั้งสองนี้ ลงในรูปเดียวกันเพื่อเป็นการตรวจสอบพฤติกรรมของอาคารว่ามีค่ากำลังต้านทานต่อแรงแผ่นดินไหว เพียงใด วิธีการนี้เรียกอีกอย่างว่าวิธีสเปกตรัมของความสามารถ (Capacity Spectrum Technique) ได้มีการนำเสนอครั้งแรกโดย Freeman และคณะ (1975) ในรูปของ Elastic Strength Demand-Capacity Spectrum ต่อมาได้มีการพัฒนาให้แสดงอยู่ในรูปของ Acceleration-Displacement Response Spectrum (ADRS) โดย Mahaney และคณะ (1993) และมีวิธีแสดงขั้นตอนการสร้างกราฟ ADRS ในเอกสาร 2 ขึ้น ซึ่งเรียกชื่อต่างกันไปคือ Capacity Spectrum Method ใช้ในเอกสาร ATC-40 สำหรับวิธีการใน FEMA-273/274 เรียกว่า Displacement Coefficient Method โดยที่ ADRS เป็นการเขียนกราฟความสัมพันธ์ของอัตราเร่งกับการเคลื่อนที่ (Spectral Acceleration - Displacement) ของความต้องการกำลังและความต้านทานของโครงสร้าง จุดตัดกันของกราฟทั้งสองนี้ จะเป็นค่าประมาณของกำลัง และการเคลื่อนที่ของโครงสร้างที่เหมาะสมในการออกแบบ เนื่องจากคำว่า Response Spectrum เป็นการเขียนกราฟของค่าสูงสุดของปริมาณผลตอบสนองใดๆกับคาบการสั่นธรรมชาติของโครงสร้าง วิธีการเขียนกราฟในรูปของ ADRS นี้จึงเรียกใหม่ว่า Demand-Capacity Diagram Method โดย Chopra และ Goel (1999) เนื่องจากชื่อหลังนี้มีความเหมาะสมกว่า จึงได้นำมาใช้ในงานวิจัยนี้

2.11.1 ผลงานวิจัยการพัฒนาความต้องการกำลัง (strength demand)

จากแบบจำลองความเสียหาย

สำหรับการคำนวณค่าความต้องการกำลังจากแบบจำลองความเสียหายโดยตรง ได้มีการนำเสนอครั้งแรกโดย Cosenza et al. (1993) แบบจำลองความเสียหายที่ใช้ประกอบด้วย Banon-Veneziano (1982) model, Park-Ang (1985) model และ Krawinkler-Zohrei (1983) model ใน การศึกษานี้ ได้มีการคำนวณค่าความต้องการกำลังที่ตำแหน่งพังทลายโดยเรียกว่า “collapse spectra” ซึ่งคำนวณมาจากคลื่นแผ่นดินไหวจำนวน 4 คลื่น แต่การใช้ collapse spectra ซึ่ง กำหนดให้ $DI = 1.0$ อาจจะไม่สามารถใช้งานได้จริงในทางปฏิบัติ เพราะหาโครงสร้างอาจไม่มีค่า ความปลอดภัยเพียงพอภายใต้แรงแผ่นดินไหว

Hirao et al. (1995) ได้ศึกษาลักษณะของ Inelastic Strength Demand Spectra โดย คำนวณค่าความต้องการกำลังโดยตรงจากแบบจำลองความเสียหาย ด้วยการใช้ Park-Ang damage model ซึ่งได้คำนวณค่าความต้องการกำลังสำหรับระดับความเสียหาย $DI = 0.5, 0.75$ และ 1.0 ซึ่ง คำนวณมาจากคลื่นแผ่นดินไหวจำนวน 30 คลื่น ผลการศึกษาสรุปว่า ค่าความต้องการกำลังจะลดลง เมื่อกำหนดค่าระดับความเสียหายสูงขึ้น

Rajaram และ Usami (1996) ได้ศึกษาค่าความต้องการกำลังสำหรับเสาตอม่อเหล็ก แบบ ผนังกล่องบาง ค่าความต้องการกำลังได้พิจารณาจากแบบจำลอง Modified Park-Ang Damage Model โดยกำหนดค่าระดับความเสียหาย $DI = 0.5, 0.7$ และ 1.0 ผลการศึกษาพบว่า ค่า Ultimate Monotonic Ductility, μ_u ซึ่งเป็นพารามิเตอร์ที่สำคัญในแบบจำลองนี้ แปรเปลี่ยนจาก 10 จนถึง 70 ทั้งนี้ขึ้นอยู่กับรูปร่างของเสาเหล็ก

การพัฒนาการออกแบบโครงสร้างรับแรงแผ่นดินไหวโดยใช้หลักการให้โครงสร้างมีความเสียหายคงที่มีการนำเสนอครั้งแรกในรูปของ Strength Demand Spectra โดย Panyakapo, P. และ Warnitchai, P. (1997) ซึ่งใช้ข้อมูลคลื่นแผ่นดินไหว 2 ชุด คือคลื่นที่บันทึกได้บนชั้นดินแข็งและชั้นดิน อ่อนในการคำนวณหา Strength Demand Spectra สำหรับความเสียหายคงที่ ต่อมาได้มีการพัฒนา Strength Demand Spectra โดยใช้หลักการนี้ ขึ้นเป็น Design Spectra โดย Warnitchai, P. และ Panyakapo, P. (1998, 1999) โดยใช้ข้อมูลคลื่นแผ่นดินไหวจากเหตุการณ์แผ่นดินไหวหลายแห่งที่ บันทึกบนชั้นดินแข็ง ชั้นดินร่วนและชั้นดินอ่อน โดยพิจารณาโครงสร้างเป็น SDOF Lumped Mass Systems ซึ่งมีฐานยึดแน่น และใช้รูปแบบพฤติกรรมของโครงสร้างแบบ Bilinear Model ซึ่งใกล้เคียง กับพฤติกรรมของโครงสร้างเหล็ก

ต่อมา Panyakapo, P. (2002) ได้เสนอวิธีการคำนวณ Strength Demand Spectra สำหรับ ความเสียหายคงที่ โดยใช้แบบจำลองทางคณิตศาสตร์ ซึ่งคำนวณจากคลื่นแผ่นดินไหวจำนวน 134

คลื่น บันทึกบนสภาพธรณีวิทยา 3 ประเภท คือ ก) สภาพชั้นหิน ข) สภาพชั้นดินตะกอน และ ค) สภาพชั้นดินอ่อน แบบจำลองที่เสนอแยกเป็นแต่ละสภาพธรณีวิทยา และมีความสัมพันธ์กับค่าความเสียหายเป้าหมาย ค่าความอ่อนเหนียว และค่าคาบการสั่นตามธรรมชาติของโครงสร้าง โดยใช้รูปแบบพฤติกรรมของโครงสร้างแบบ Modified Takeda Model แบบจำลองดังกล่าวช่วยให้วิศวกรคำนวณหา Strength Demand Spectra สำหรับความเสียหายคงที่ได้โดยสะดวก

สำหรับกรณีพฤติกรรมของโครงสร้างคอนกรีตเสริมเหล็ก ผลงานวิจัยของ Panyakapo, P. (2004) ซึ่งใช้รูปแบบพฤติกรรมของโครงสร้างแบบ Clough, Modified Takeda และ Park's general three parameter models ได้ชี้ว่า Strength Demand Spectra สำหรับความเสียหายคงที่ มีความเหมาะสมกว่าวิธีการเดิมซึ่งใช้หลักการความอ่อนเหนียวคงที่ ทั้งนี้เนื่องจากความเสียหายสะสมมีค่าสูงมาก อันเป็นผลมาจากการเชื่อมลดค่าสติเฟนสของโครงสร้างแบบนี้

Panyakapo P. (2006) ได้เสนอแผนผังความต้องการกำลังโดยหลักการความเสียหายคงที่ เพื่อใช้สำหรับการออกแบบเชิงพฤติกรรม (Performance Based Design) โดยเสนอความต้องการกำลังสำหรับค่าความเสียหายเป้าหมายต่างๆในรูปแบบจำลองทางคณิตศาสตร์ สำหรับอาคารที่ตั้งอยู่บนชั้นหินและชั้นดินอ่อน โดยเป็นความสัมพันธ์ของ ความต้องการกำลัง การเคลื่อนที่ สัมประสิทธิ์แรงเฉือนที่ฐาน ตัวประกอบการลดกำลังสำหรับความเสียหายเป้าหมาย ค่าความเหนียว และคาบการสั่นธรรมชาติของโครงสร้าง ผลการวิเคราะห์การประยุกต์ใช้แผนผังความต้องการกำลังนี้พบว่าค่าระดับความเสียหายของโครงสร้างมีค่าคงที่ตลอดคาบการสั่นธรรมชาติ

2.11.2 ผลงานวิจัยการพัฒนาแผนผังของความสามารถด้านทานแผ่นดินไหวของอาคาร

วิธีสเปคตรัมของความสามารถ (Capacity Spectrum Technique) ได้มีการนำเสนอครั้งแรกโดย Freeman และคณะ (1975) ในรูปของ Elastic Strength Demand-Capacity Spectrum โดยเขียนอยู่ในรูปของกราฟ Spectral Acceleration Spectrum (ความสัมพันธ์ระหว่างอัตราเร่งและคาบการสั่นธรรมชาติของโครงสร้าง) และมีสมมุติฐานว่า ขณะที่กำลังของโครงสร้างถึงจุดคราก ค่าระดับความเสียหายเป็นศูนย์ และเมื่อกำลังของโครงสร้างถึงจุดประลัย ค่าระดับความเสียหายเท่ากับ 100% สำหรับวิธีการแปลผลนั้น พิจารณาว่าจุดตัดกันของกราฟ Demand และ Capacity เป็นจุดที่แสดงสมรรถนะของโครงสร้าง

ต่อมารูปแบบของกราฟดังกล่าวได้มีการพัฒนาขึ้นมาใหม่ให้อยู่ในรูปของ Acceleration-Displacement Response Spectrum (ADRS) โดย Mahaney และคณะ (1993) ซึ่งเขียนอยู่ในรูปของกราฟความสัมพันธ์ระหว่างอัตราเร่ง(ในแกนตั้ง)และกวัดเคลื่อนที่ของโครงสร้าง (ในแกนนอน) โดยที่ค่า



คาบการสั่นธรรมชาติของโครงสร้างอยู่ในแกนรัศมี ส่วนวิธีการแปลผลนั้น ถือว่าจุดตัดกันของกราฟ Demand และ Capacity เป็นจุดที่แสดงการประมาณค่ากำลังของโครงสร้างและการเคลื่อนที่ของโครงสร้างเมื่อถูกกระทำด้วยแรงแผ่นดินไหว

รูปแบบของกราฟ ADRS นี้ได้ถูกดัดแปลงมาใช้ในขั้นตอนการวิเคราะห์แรงสถิตยไม่เชิงเส้น ในรายงาน ATC-40 (Applied Technology Council, 1996) และ FEMA-274 (FEMA, 1997) ซึ่งเป็นวิธีการที่นิยมใช้ในการประเมินหาสมรรถนะของโครงสร้างอาคารภายใต้แรงแผ่นดินไหว แต่ปัญหาในการออกแบบก็ยังมีอยู่คือ ความต้องการกำลังที่ใช้ยังเป็นพฤติกรรมของโครงสร้างแบบอีลาสติกอยู่ซึ่งยังไม่ครอบคลุมถึงหลักการออกแบบตามมาตรฐานการออกแบบอาคารในปัจจุบันซึ่งคำนึงถึงพฤติกรรมของโครงสร้างในช่วงอินอีลาสติก

ดังนั้น จึงได้มีการพัฒนาารูปแบบของกราฟ ADRS ขึ้นใหม่โดย Chopra และ Goel (1999); Fajfar (1999) ให้อยู่บนพื้นฐานของความต้องการกำลังในช่วงอินอีลาสติก (Inelastic Strength Demand Spectra) โดยที่ความต้องการกำลังในช่วงอินอีลาสติกนี้คำนวณได้จาก Elastic Design Spectrum หารด้วยค่าตัวประกอบของการลดกำลัง (Strength Reduction Factors) แต่เนื่องจากค่าตัวประกอบของการลดกำลังนี้ โดยส่วนใหญ่คำนวณบนพื้นฐานของหลักการความเหนียวคงที่ ดังนั้น วิธีการนี้จึงยังไม่ได้คำนึงถึงผลกระทบจากความเสียหายสะสมเช่นกัน

ต่อมา Chopra และ Goel (2002) ได้เสนอวิธีวิเคราะห์การผลักอาคารใหม่ เรียกว่าการวิเคราะห์แบบการผลักตามรูปแบบการสั่นของโครงสร้าง (Modal Pushover Analysis, MPA) เพื่อปรับปรุงแรงกระทำให้น่าเชื่อถือยิ่งขึ้นกว่าแรงกระทำเพียงด้านเดียว ในวิธีการนี้เป็นการใช้แรงผลักกระทำแบบกระจายตามแต่ละรูปแบบการสั่นของโครงสร้าง และรวมผลตอบสนองเข้าด้วยกันด้วยวิธี Square Root of the Sum of the Square (SRSS) เมื่อเปรียบเทียบกับวิธีการวิเคราะห์ด้วยวิธีผลตอบสนองแบบไม่เชิงเส้นตามกาลเวลา (Nonlinear response time-history analysis, NRHA) พบว่า วิธีการผลักอาคารดังกล่าว อาจประเมินค่าการเคลื่อนที่ของพื้นอาคาร การโยกตัวระหว่างชั้น และการจำแนกตำแหน่งของข้อหมุนพลาสติกได้ใกล้เคียงกันกับวิธีการ NRHA แต่วิธีการนี้ยังพบปัญหาว่า กราฟการเคลื่อนที่มีกราฟกลับในบางโหมดที่สูงขึ้นไป ทำให้อาจได้ข้อมูลที่ไม่น่าเชื่อถือได้

Yu และคณะ (2002) ประยุกต์ใช้วิธี MPA และ ปรับปรุงวิธี MPA อีกสองแบบในการประเมินค่าการเลื่อนตัวระหว่างชั้น และค่าการหมุนตัวของข้อหมุนพลาสติก สำหรับโครงอาคารเหล็กสูง 13 ชั้น งานวิจัยนี้ ใช้ค่าการเคลื่อนที่เป้าหมายซึ่งคำนวณจากวิธีสัมประสิทธิ์การเคลื่อนที่ (Displacement coefficient method) ผลการวิจัย พบว่า วิธี MPA ให้ผลการประเมินค่าการเลื่อนตัวระหว่างชั้นที่ต่ำสำหรับชั้นช่วงบน และให้ผลการประเมินค่าการเลื่อนตัวระหว่างชั้นที่สูง สำหรับชั้นช่วงล่าง รวมทั้งค่าการหมุนตัวของข้อหมุนพลาสติกในคานและเสา ก็ให้ผลที่สูงด้วย

Chintanapakdee and Chopra (2003) ประยุกต์ใช้วิธี MPA ในการประเมินค่าการเคลื่อนตัวระหว่างชั้น สำหรับโครงสร้างแบบจำลองสูง 3, 6, 9, 12, 15 และ 18 ชั้น ผลการวิจัยพบว่า ค่าความถูกต้องของการประเมินขึ้นอยู่กับระดับความสูงและระดับความไม่ยืดหยุ่นของอาคาร ผลที่ได้ให้ค่าความถูกต้องที่ดีที่สุด สำหรับอาคารขนาดเตี้ย และสำหรับระดับชั้นช่วงล่างและช่วงกลางของอาคารสูง ส่วนในระดับชั้นช่วงบนของอาคารสูง วิธี MPA ให้ผลการประเมินค่าการเคลื่อนตัวระหว่างชั้นที่ไม่น่าเชื่อถือ

Chopra และคณะ (2004) ได้ปรับปรุงวิธี MPA ใหม่ เพื่อแก้ปัญหาว่า กราฟการเคลื่อนตัวที่มีการกลับทิศในบางโหมดที่สูงขึ้นไป และคำนวณเปรียบเทียบระหว่างวิธี MPA เดิมและวิธีปรับปรุงใหม่ โดยใช้อาคารชุดเดิมและอาคารโครงสร้างเหล็ก ผลการวิจัยพบว่าวิธี MPA ปรับปรุงใหม่ให้ผลที่น่าสนใจมากกว่าวิธีเดิม เพราะว่า วิธีใหม่นี้ให้ผลการคำนวณค่าการเคลื่อนตัวที่สูงกว่า ทำให้เป็นการปรับปรุงค่าความถูกต้องจากผลการวิจัยเดิมได้

Goel และ Chopra (2004) ศึกษาการปรับปรุงวิธี MPA โดยพิจารณาผลกระทบของ $P-\Delta$ ในทุกโหมด ซึ่งเป็นการเพิ่มขึ้นตอนพิเศษในการประเมินค่าการหมุนตัวของข้อหมุนพลาสติก แม้ว่าวิธีการปรับปรุง MPA นี้จะดีกว่าการประเมินโดยคิดจากโหมดเดียว แต่ก็พบว่า การประเมินค่าการหมุนตัวของข้อหมุนพลาสติกก็ยังให้ผลที่ไม่ถูกต้องนัก เนื่องจาก ค่าการหมุนตัวในระดับชั้นล่างให้ค่าที่สูงเกินไป และในระดับชั้นบนให้ค่าที่ต่ำเกินไป โดยคำนวณจากอาคารโครงสร้างต้านทานแรงดัดสูง 9 และ 20 ชั้น

Jan และคณะ (2004) เสนอเทคนิคที่เป็นทางเลือกใหม่โดยรวมผลของการเคลื่อนตัวในช่วงไม่ยืดหยุ่นจากสองโหมดแรกเข้าด้วยกัน ในวิธีการผลักแบบ MPA โดยการคำนวณค่าการเคลื่อนที่ ค่าการเคลื่อนตัวระหว่างชั้น และค่าการหมุนตัวของข้อหมุนพลาสติก จากแรงกระทำทางด้านข้างที่กระจายแบบสามเหลี่ยม และเปรียบเทียบกับวิธีการ MPA เดิม สำหรับการคำนวณอาคารโครงสร้างต้านทานแรงดัดสูง 2, 5, 10, 20, 30 ชั้น ผลการคำนวณพบว่า การกระจายแรงแบบสามเหลี่ยม และวิธี MPA เดิมให้ผลการประเมินที่ดีในการคำนวณค่าการเคลื่อนตัวระหว่างชั้น สำหรับอาคารสูง 2 และ 5 ชั้น และให้ผลที่ดียิ่งขึ้น สำหรับการคำนวณค่าการเคลื่อนตัวระหว่างชั้น สำหรับอาคารสูง 20 และ 30 ชั้น

Hernandez-Montes และคณะ (2004) เสนอวิธีการผลักโดยหลักการพลังงาน ซึ่งสามารถใช้แก้ปัญหาที่พบว่ากราฟการเคลื่อนตัวที่มีการย้อนกลับทิศในการใช้วิธีการ MPA เดิม วิธีการนี้เป็นการผลักอาคารด้วยแรงกระทำในแต่ละโหมด โดยการใช้พลังงานที่คำนวณจากผลคูณของแรงผลักและค่าการเคลื่อนที่ของโครงสร้าง ในการคำนวณค่าการเคลื่อนที่เป้าหมาย ในขั้นตอนการผลักนี้ พลังงานจากการผลักในแต่ละโหมด จะคำนวณในรูปแบบการเพิ่มขึ้นของพลังงาน และค่าการเคลื่อนที่ที่เพิ่มขึ้นในแต่ละชั้นของโครงสร้างสามารถคำนวณจากการหารค่าพลังงานด้วยค่าแรงเฉือนที่ฐานอาคาร ดังนั้นกราฟ

ความสามารถต้านทานแผ่นดินไหว (Capacity curve) จึงสร้างมาได้ในแต่ละโหมด ซึ่งเป็นการปรับปรุงการใช้รูปแบบการผลักในโหมดแรก และแก้ไขการผลักที่กลับทิศในโหมดสูงได้

ในวิธีการวิเคราะห์การผลักอาคาร (Pushover analysis) นั้น ค่าการเคลื่อนที่จากการผลักอาคารไม่ได้มีการกำหนดค่าแน่นอน Kim และ Kurama (2008) เสนอวิธีคำนวณหาค่าการเคลื่อนที่สูงสุดในการผลักอาคารด้วยวิธีการผลักอาคาร ซึ่งแรงกระทำในแต่ละชั้นมีค่าเป็นสัดส่วนกับมวลของแต่ละชั้นอาคาร เรียกว่า Mass Proportional Pushover (MPP) ผลการวิเคราะห์พบว่า วิธีการนี้ ให้ค่าการประเมินหาค่าการเคลื่อนที่สูงสุดได้ดีกว่าวิธี MPA สำหรับโครงสร้างแรงดัดที่มีความสูง 3, 9 และ 20 ชั้น

นอกจากนี้ Manoukas และคณะ (2011) ยังได้เสนอวิธีการใช้พลังงานหน่วยการเคลื่อนที่ (Strain Energy) คำนวณจากผลคูณของแรงผลักและค่าการเคลื่อนที่ในแต่ละชั้นของอาคาร เพื่อนำไปหาค่าแรงเฉือน และกราฟความสัมพันธ์ระหว่างค่าการเคลื่อนที่บนยอดอาคารและแรงเฉือนที่ฐาน จากนั้นจึงนำไปประเมินค่าการเคลื่อนที่สูงสุดของอาคารได้

2.11.3 ผลงานวิจัยในประเทศไทย

ได้มีการศึกษากำลังต้านทานของอาคารคอนกรีตต่อแรงแผ่นดินไหวของอาคารคอนกรีตเสริมเหล็กสูง 9 ชั้น ในเขตกรุงเทพมหานคร โดย เป็นหนึ่งและสืบพงศ์ (2544) การศึกษานี้ใช้วิธีการหาคำลังต้านทานและความเหนียวของอาคารด้วยวิธี Pushover Method กับการเคลื่อนตัวด้านข้างที่ยอดอาคาร และนำไปเปรียบเทียบกับ Inelastic Demand Diagram จากข้อมูลคลื่นแผ่นดินไหวที่เป็นตัวแทน ซึ่งคาดว่าอาจจะเกิดรุนแรงที่สุดในกรุงเทพมหานคร และพบว่า อาคารตัวอย่างแม้จะไม่ได้ถูกออกแบบให้ต้านทานแผ่นดินไหวแต่มีระดับความต้านทานที่สูง จนเกือบจะสามารถทนต่อแผ่นดินไหวรุนแรงที่สุดที่คาดว่าจะเกิดขึ้นที่กรุงเทพมหานครได้ โดยคำนึงถึงผลกระทบของผนังกำแพง ความยืดหยุ่นของฐานราก และ ผลของ P- Δ

การศึกษากำลังต้านทานของอาคารในลักษณะนี้โดย ธานินทร์และทศพล (2544) สำหรับอาคารคอนกรีตเสริมเหล็กสูง 4 ชั้น โดยการใช้โปรแกรม IDARC ในการคำนวณแบบ Pushover Method ซึ่งใช้ทั้งวิธีแรงดันด้านข้างแบบสถิตย์และการวิเคราะห์แบบพลศาสตร์ ผลการศึกษาพบว่าอาคารที่มีการออกแบบให้รับน้ำหนักบรรทุกทุกจากแรงโน้มถ่วงเพียงอย่างเดียว จะมีพฤติกรรมแบบเสาอ่อน-คานแข็ง ทำให้เกิดการครากที่เสาเป็นส่วนใหญ่ ซึ่งเป็นจุดอ่อนในการรับแรงแผ่นดินไหว

นคร และอาทิตย์ (2548) ได้เสนอการวิเคราะห์คุณสมบัติเชิงพลศาสตร์ของอาคารคอนกรีตเสริมเหล็กที่พิจารณาผลความยืดหยุ่นของฐานรากหรือผลของชั้นดินอ่อนสำหรับแบบจำลองของอาคารในกรุงเทพฯ ด้วยวิธีการวิเคราะห์แบบจำลองทางคณิตศาสตร์ โดยแบบจำลองที่สร้างขึ้น

กำหนดให้มีพฤติกรรมในช่วงยืดหยุ่นเชิงเส้นและมีค่าน้อยแรงในระดับต่ำ หรือพิจารณาหน้าตัดที่ไม่แตกร้าว ส่วนแบบจำลองของฐานรากใช้สมมติฐานตาม Winkler model โดยพิจารณาความสามารถในการต้านการเคลื่อนที่ทางด้านข้างของดินแต่ละชั้นเป็นสปริง และยึดติดกับเสาเข็มใน 2 ทิศทางที่ตั้งฉากกันในระนาบ เสาเข็มยึดติดกับเสาของอาคารโดยมีจุดรองรับที่ปลายล่างเป็นแบบล้อเลื่อน พบว่าสำหรับอาคารที่มีความสูงเท่ากัน ขนาดของอาคารมีผลต่อสติเฟนสทางด้านข้างที่เกิดจากจำนวนเสา และขนาดหน้าตัดของระนาบ โดยค่าคาบธรรมชาติ จะมีค่าลดลงเมื่ออาคารมีขนาดใหญ่ขึ้น

ในกรณีของอาคารเตี้ยและอาคารขนาดใหญ่ ค่าคาบธรรมชาติจะเพิ่มขึ้น และเมื่ออาคารมีความสูงมากขึ้น ค่าคาบธรรมชาติของแบบจำลองแบบฐานรากยืดหยุ่นมีค่ามากกว่าแบบยึดแน่นเล็กน้อย ความรุนแรงของผลกระทบของดินกับโครงสร้าง (Soil-structure interaction) ของอาคารที่ตั้งอยู่บนชั้นดินอ่อนจะขึ้นอยู่กับอัตราส่วนของค่าสติเฟนสของอาคารต่อฐานราก K_s/K_b ที่ลดลงตามความสูง ผลกระทบของดินกับโครงสร้างจะมากขึ้นตามอัตราส่วนของค่าสติเฟนสของอาคารต่อฐานราก

อย่างไรก็ตามงานวิจัยนี้ได้จำลองฐานรากอาคารทั้งแบบฐานรากยึดแน่น และฐานรากเข็มแบบยืดหยุ่น โดยใช้พฤติกรรมดินอิลาสติก Winkler model และพิจารณาความสามารถในการเคลื่อนที่ทางด้านข้างของดินที่เสาเข็มแต่ละชั้นเป็นสปริงในแนวระนาบเท่านั้น โดยไม่มีการพิจารณา ค่าความหน่วงของดินทางด้านข้าง (Lateral soil damping) ส่วนจุดรองรับที่ปลายล่างเป็นแบบล้อเลื่อน (Roller support) ซึ่งไม่ได้มีการพิจารณาเกี่ยวกับการหลุดตัวของฐานราก อีกทั้งไม่มีการวิเคราะห์ความสามารถต้านทานแรงแผ่นดินไหวของแบบจำลองอาคารด้วยเช่นกัน

ผลงานวิจัยในระยะหลังโดยวิโรจน์และคณะ (2549) ซึ่งศึกษาอาคารคอนกรีตเสริมเหล็กประเภทคาน-เสา สำหรับอาคารตัวอย่างสูง 9 ชั้นและ 20 ชั้น โดยวิธีเพิ่มแรงสถิตด้านข้างและวิเคราะห์แบบไม่เชิงเส้นตามข้อกำหนดโดย ATC-40 พบว่า โครงสร้างมีโอกาสที่จะวิบัติแบบเปราะที่จุดต่อเสาคานได้ เนื่องจากไม่มีการเสริมเหล็กปลอกในจุดต่อเสาคาน ส่วนอาคารประเภทคาน-เสา-ผนังรับแรงเฉือน มีความสามารถต้านทานแรงแผ่นดินไหวได้ดีกว่าอาคารประเภทคาน-เสา เนื่องจากโครงสร้างผนังมีความแข็งแรงกว่าโครงสร้างคาน-เสา

วัชรพล และมงคล (2549) ได้เสนอการวิเคราะห์แบบจำลองโครงสร้างอาคารสูง 10 ชั้น เป็นโครงข้อแข็ง 2 มิติ แบบเสาอ่อน-คานแข็ง ในกรุงเทพฯ ที่มีการตอบสนองของโครงสร้างทางด้านข้างเท่านั้น โดยพิจารณาแรงแผ่นดินไหวแบบเพาเวอร์สเปคตรัม (Power response spectrum analysis) ซึ่งตั้งบนพื้นฐานของการวิเคราะห์แบบสถิตศาสตร์ และประมาณการตอบสนองของโครงสร้างที่มีค่าสูงสุด ซึ่งไม่ขึ้นกับตัวแปรของเวลา โดยใช้แบบจำลองดินเป็นสปริงแบบยืดหยุ่นเชิงเส้น และสมมติให้ฐานรากของโครงสร้างมีคุณสมบัติเป็นวัตถุแข็งเกร็ง มีรูปร่างโครงสร้างเป็นแบบฐานรากแบบวงกลม

ซึ่งวางบนผิวของดินที่เป็นเนื้อเดียวกัน และมีพฤติกรรมแบบยึดหยุ่นโดยพิจารณารูปทรงแบบครึ่งทรงกลม (Half space) โดยดินและฐานรากสามารถเคลื่อนที่ได้ในแนวราบเมื่อมีแรงแผ่นดินไหวมากระทำ

จากการศึกษาพบว่าการศึกษาโครงสร้างอาคารที่รวมผลของปฏิสัมพันธ์ระหว่างดินกับโครงสร้างให้ผลการเคลื่อนที่โดยเฉลี่ยในแต่ละชั้นและแรงที่เกิดขึ้นในอาคารมีค่ามากกว่าการศึกษาแบบให้โครงสร้างมีฐานรากแบบยึดแน่น ทำให้อาคารมีประสิทธิภาพในการต้านทานแรงแผ่นดินไหวลดลงจากที่ได้ออกแบบไว้ และจากผลการวิเคราะห์โดยใช้วิธีรวมผลปฏิสัมพันธ์ระหว่างดินและโครงสร้างของแต่ละโหมดแบบ SRSS พบว่าโครงสร้างอาคารสูงที่พิจารณาแบบรวมผลของปฏิสัมพันธ์ระหว่างดินและโครงสร้าง มีแรงเฉือนและโมเมนต์เกิดขึ้นที่ฐานของโครงสร้างมากกว่าการศึกษาโครงสร้างที่มีจุดรองรับแบบยึดแน่น ทำให้อาคารที่พิจารณาผลปฏิสัมพันธ์ระหว่างดินและโครงสร้างจะมีการโยกตัวมากกว่าที่วิเคราะห์แบบให้ฐานรากอาคารถูกยึดแน่น ซึ่งส่งผลให้อาคารมีประสิทธิภาพในการต้านทานแรงแผ่นดินไหวลดลงจากที่ได้ออกแบบไว้

อย่างไรก็ตามงานวิจัยนี้ได้จำลองฐานรากอาคารทั้งแบบฐานรากยึดแน่น และฐานรากแบบยึดหยุ่น โดยพิจารณาให้มีการต้านทานการเคลื่อนที่ทางด้านข้างของฐานรากเป็นสปริง (Lateral soil spring element) และความหน่วง (Lateral soil damping element) ในแนวระนาบเพียงเท่านั้น โดยไม่มีการพิจารณาในรายละเอียดส่วนของเสาเข็มและการทรุดตัวของฐานราก อีกทั้งไม่มีการวิเคราะห์หาความสามารถต้านทานแรงแผ่นดินไหวของแบบจำลองอาคารด้วยเช่นกัน

การวิเคราะห์กำลังต้านทานแผ่นดินไหวของอาคารด้วยวิธีการผลัดแบบวัฏจักร (Cyclic Pushover, CP) ได้มีการนำเสนอโดย ไพนูลย์ (2552) เพื่อใช้ในการสร้างกราฟกำลังต้านทานแผ่นดินไหวบนพื้นฐานความเสียหายของโครงสร้างเป็นหลัก วิธีการนี้ใช้แรงกระทำแบบสถิตผลัดอาคารด้วยการควบคุมค่าการเคลื่อนที่ของอาคาร แบบไป-กลับเป็นรอบๆ จนถึงค่าการเคลื่อนที่สูงสุด เพื่อแสดงความสัมพันธ์ระหว่างแรงเฉือนที่ฐานและการเคลื่อนที่ของยอดอาคาร พร้อมทั้งค่าระดับความเสียหายของอาคารตามเส้นทางการเคลื่อนที่ของโครงสร้าง ซึ่งวัดด้วยค่าดัชนีความเสียหายของโครงสร้าง ผลการวิเคราะห์สำหรับอาคารสูง 15 ชั้นพบว่า ค่าระดับความเสียหายโดยเฉลี่ยของโครงสร้างซึ่งได้จากวิธีการผลัดแบบวัฏจักร มีค่าสูงกว่าวิธีการผลัดแบบสถิต (Pushover Analysis) เนื่องจากผลของค่าความเสียหายสะสมของโครงสร้างอาคารจากพลังงานที่ดูดซับในโครงสร้างอันเป็นผลมาจากวิธีการผลัดแบบวัฏจักรให้ค่าที่สูงกว่าวิธีการผลัดแบบสถิตที่ใช้โดยทั่วไป อย่างไรก็ตาม การศึกษานี้ ยังขาดการวิเคราะห์หาค่าการเคลื่อนที่สูงสุดของอาคารเพื่อใช้เป็นตัวควบคุมการผลัดอาคาร และผลลัพธ์ยังไม่ถูกต้องนัก เมื่อเปรียบเทียบกับวิธีพลศาสตร์ไม่เชิงเส้นด้วยคลื่นแผ่นดินไหว

2.12 สรุป

จากผลการวิจัยที่ผ่านมา ยังไม่มีการศึกษาการวิเคราะห์หาค่าการเคลื่อนที่สูงสุดของอาคาร เพื่อใช้เป็นตัวควบคุมการเคลื่อนที่สำหรับการผลักอาคารแบบวัฏจักร (Cyclic Pushover Method) เพื่อการประเมินค่าระดับความเสียหายของโครงสร้าง ยังไม่มีการศึกษาเพื่อปรับปรุงวิธีการผลักอาคารเพื่อจำลองสถานการณ์ให้ใกล้เคียงกันกับเหตุการณ์แผ่นดินไหวจริง ซึ่งจะมีผลของความเสียหายสะสมจากแรงกระทำแบบกลับไปมาด้วย รวมทั้งยังไม่มีการใช้พฤติกรรมมารับแรงที่ได้จากผลทดสอบในห้องปฏิบัติการ มาใช้ในแบบจำลองพฤติกรรมโครงสร้างเพื่อการวิเคราะห์การผลักอาคารแบบวัฏจักร ดังนั้น เพื่อให้การวิเคราะห์นี้มีความน่าเชื่อถือยิ่งขึ้น จึงควรพิจารณาวิธีการผลักอาคารให้ใกล้เคียงกับพฤติกรรมของโครงสร้างอาคารในเหตุการณ์แผ่นดินไหวจริงด้วย